

10 de febrero de 2026
Archivo No. 01204123.21-13

Sr. Baitong Chen
Distrito de Gestión de la Calidad del Aire de la Costa Sur
21865 Copley Drive
Diamond Bar, California 91765

Asunto: Determinación del Comité de Reacción Mensual sobre los Límites del Área de Reacción del Vertedero de Chiquita Canyon - Castaic, California

Estimado Sr. Chen:

Conforme a las Condiciones No. 9a y 9b de la Orden de Depuración Estipulada Modificada (SOFA) en relación al Vertedero de Chiquita Canyon (el Vertedero o el Centro) (Caso No. 6177-4), el Comité de Reacción revisó los nuevos datos adquiridos aplicables registrados durante el mes de enero de 2026, consideró las revisiones del alcance estimado de las condiciones del vertedero de temperaturas elevadas (ETLF) en el Centro de referencia (denominados límites del "Área de Reacción") y ha elaborado esta determinación sobre potencialmente revisar el mapa del Área de Reacción.

El Adjunto A presenta el Plano con el título "Mapa del Área de Reacción", preparado por SCS Engineers (SCS) con fecha 10 de febrero de 2026. El Plano muestra el límite del Área de Reacción como se indica en la Condición No. 9a que corresponde a los límites de las Celdas 1/2A, 2B/3, 4 y al Módulo 2B/3/4 P2 como línea negra sólida. El Plano también muestra el alcance estimado de las condiciones de ETLF experimentadas en el sitio en base a la revisión de los datos científicos del Comité de Reacción como línea de puntos magenta. El fundamento que sirve como base para considerar ajustes y modificaciones en el límite del Área de Reacción (o la determinación de mantener el límite decretado) incluye lo siguiente:

- Temperaturas del cabezal del pozo de Biogás (LFG) que exceden aproximadamente los 160 grados Fahrenheit.
- Mala calidad del gas (definido como niveles de metano inferiores al 30 por ciento) junto con proporciones de metano-dióxido de carbono ($\text{CH}_4:\text{CO}_2$) inferiores a 1.0.
- La concentración de hidrógeno (H_2) en el LFG que mide más del 2 por ciento por volumen.
- La concentración de monóxido de carbono (CO) en el LFG que mide más del 2,000 ppm.
- Asentamiento acelerado de la superficie del vertedero, definida como aproximadamente 18 pulgadas o más dentro de un período de 60 días y grietas en la cubierta del vertedero. Esto corresponde a un índice de un valor de tensión (es decir, un índice de asentamiento) del 3 por ciento por año para zonas con profundidad de columnas de desechos de 300 pies, que creemos que es una profundidad promedio razonable en el tema de interés.
- Observaciones de primera mano del Vertedero y/o del personal de campo de ingeniería, construcción y operaciones y mantenimiento (O&M) de SCS que está en el sitio. 1) cantidades excesivas atípicas de lixiviados (presencia y cantidad de líquidos); 2) instancias de líquidos presurizados que salen de la superficie del vertedero, desde los pozos durante las perforaciones y desde los pozos de LFG; y 3) las



características de los olores que se originan en las áreas seleccionadas de la huella de desechos (generalmente descritas como "similares a productos químicos" y distintivamente diferentes del LFG típico u olores en el trabajo del vertedero)

- Observaciones de condiciones y características de los desechos de la subsuperficie como se indica en los registros de perforación del pozo para nuevos pozos y/o sondas, recién instalados.
- Temperaturas de la subsuperficie registradas en las sondas de temperatura de desechos in-situ durante enero de 2026.
- Temperatura del gas o de los líquidos medida en profundidad dentro del tubo elevador del pozo de LFG (utilizando un transmisor automatizado o instrumentación de campo manual).
- Temperatura y presiones en la subsuperficie asociadas a las actividades de perforaciones para los nuevos pozos de extracción de gas durante enero de 2026, si corresponde.

CONSIDERACIONES DE POTENCIALES AJUSTES AL ALCANCE ESTIMADO DE LAS CONDICIONES DEL ETLF (LÍNEA DE PUNTOS MAGENTA)

Al realizar sus determinaciones mensuales, el Comité de la Reacción evalúa los parámetros del set de datos arriba indicados, junto con otro más, para identificar tendencias significativas que indiquen condiciones de ETLF, en lugar de fluctuaciones exhibidas en puntos de datos aislados.

Cada mes, el Comité de la Reacción examina áreas particulares del Vertedero que previamente exhibieron datos anormales o fluctuantes, cuando aplica. Como se trata a continuación, el Comité ha determinado que hay suficientes datos para ajustar el límite, para incorporar un área distinta inmediatamente contigua (al este) al límite, como se determinó en el ejercicio mensual anterior. Este ajuste incluye seis pozos de extracción de LFG (CV-2305, CV-24076, CV-24148, CV-24219, CV-2558, and CV-25105S/D) y una sonda de monitoreo de temperatura (TP-16), en base a las tendencias demostradas dentro de los datos de enero de 2026 y en los datos de los últimos varios meses.

Cerca del Límite Este de la Celda 1/2A

El Comité de la Reacción ha estado supervisando muy de cerca los datos registrados relevantes a las condiciones de la subsuperficie en y alrededor de CV-2305, CV-24076, CV-24148, CV-24219, CV-2558, CV-25105S/D y TP-16 y ha informado sobre esta área en los informes mensuales previos sobre la determinación. Los seis pozos de extracción de LFG están ubicados dentro de un área de 1 acre de la Celda 1/2A y están colocados dentro de aproximadamente los 75 a 300 pies del límite delineado. TP-16 está posicionada dentro de aproximadamente 225 pies del límite delineado.

Estos pozos están experimentando contenido de metano malo, generalmente de menos del 10 por ciento, excepto CV-2305, CV-24076 y CV-25105S/D, que exhibió una concentración de metano promedio del 17, 19 y 19 por ciento durante enero, respectivamente. Estos pozos están exhibiendo relaciones de metano-dióxido de carbono de entre 0.1 y 0.3. Las temperaturas promedio en los pozos durante enero para CV-24076, CV-24148, CV-24219 y CV-2558 fueron de 162, 175, 172 y 183 grados F, respectivamente. Aunque las temperaturas promedio en los cabezales durante enero en los pozos CV-2305 y CV-25105S/D fueron de menos de 135 grados F, el vacío aplicado fue bajo (generalmente una columna de agua de menos de 1 pulgada). El contenido de H₂ medido en los pozos CV-2305, CV-24076, CV-24148, CV-24219 y CV-2558 durante

diciembre de 2025 y enero de 2026 fue de entre el 5 y el 9 por ciento, excepto para valores de 3.2 y 1.1 por ciento registrados en los pozos CV-24148 y CV-2558, respectivamente, durante enero.

En CV-2305 CV-24219 hay una relación entre el aumento en la temperatura y la reducción en la calidad del metano, debido a que los pozos han sido reactivados en diciembre después de haber estado fuera de servicio temporalmente en septiembre para que se pueda realizar el despliegue de la nueva cubierta de geomembrana expuesta de Alcohol Vinílico Etileno (EVOH)/Polietileno de Alta Densidad (HDPE).

Una revisión de los siete pozos contiguos en la mayor proximidad (CV-2319, CV-24065/TP-17, CV-2552, CV-2557, CV-25103, CV-25105S y CV-25107D) indica que los siete pozos tienen temperaturas relativamente bajas (menos de 145 grados F, excepto para CV-2552, que midió 149 grados F en enero) que no corresponden a condiciones de la reacción y cinco de siete pozos exhibieron una concentración de metano promedio mayor al 18 por ciento durante enero, de esta manera indicando que está ocurriendo metanogénesis en los alrededores.

Por consiguiente, el Comité de la Reacción ajustó el límite de la reacción dirigido por datos (línea de puntos magenta) levemente hacia el este para incluir CV-2305, CV-24076, CV-24148, CV-24219, CV-2558, CV-25105S/D y TP-16. Mientras que reconocemos que las temperaturas y la calidad del gas probablemente se vieron afectadas por la baja temporal de la infraestructura del sistema LFG debido al despliegue de la cubierta de EVOH/HDHP y su posterior reactivación, los cambios acumulados que se notaron en los datos de enero sugieren que probablemente hay condiciones de ETLF presentes dentro de los materiales de desecho enterrados alrededor de estos pozos y en la sonda de monitoreo de temperatura. El límite de la reacción dirigido por datos (línea de puntos magenta) ahora coincide con los límites de la Celda 1/2A a lo largo de una distancia de aproximadamente 200 pies y por lo tanto coincide con el límite de la Zona Reactiva como se indica en la Condición No. 9a (línea sólida negra).

Además, a pesar de varianzas menores en áreas discretas del Vertedero, el Comité de la Reacción no ha discernido ninguna tendencia significativa con respecto a los datos de enero de 2026 que indiquen que la reacción se ha expandido a las áreas tratadas a continuación.

Cerca de CV-24009

El pozo CV-24009 está posicionado dentro de los 60 pies, aproximadamente del límite dirigido por datos delineado y los datos registrados durante enero demuestran que las condiciones generalmente se mantuvieron sin cambios durante los últimos cinco meses. Como se indicó en informes previos, el Comité de la Reacción sospecha que el movimiento de gases desde adentro de la Zona Reactiva a través de colectores horizontales es probablemente la causa del calor y la tendencia a largo plazo del gas de calidad marginal a mala en este pozo.

Cerca de CV-2344

El pozo CV-2344 está posicionado dentro de los 100 pies, aproximadamente del límite dirigido por datos, delineado. Este pozo registró temperaturas de LFG en los pozos en el rango de 1363 a 164 grados F durante enero y la temperatura promedio durante octubre a enero fue de 149 grados F. Aunque la calidad del LFG en CV-2344 es mala, con una concentración de metano promedio del 12 por ciento durante octubre a enero, las temperaturas registradas en este pozo son consistentes con las condiciones de la reacción. La temperatura promedio en el pozo adyacente de LFG CV-24066 medida durante este período fue de 111 grados F y la concentración de metano promedio fue del 29 por ciento. Además, las temperaturas máximas de los desechos in-situ registradas cerca de TP-05 durante las últimas seis semanas son menores a 168 grados F. El Comité de la Reacción no cree que se justifique un ajuste en los límites de la Zona Reactiva que incluya las partes de la huella de desechos que incluye el CV-2344 en este momento.

Subáreas Dentro del Límite de la Zona Reactiva Dirigido por Datos

Como se exhibe en los mapas de rango de gradiente isotérmico que se incluyen como **Adjunto C** de este Informe de Determinación de Zona Reactiva mensual, las temperaturas de los cabezales de pozos de biogás registradas cada mes demuestran varias subáreas dentro del límite dirigido por datos que exhiben consistentemente temperaturas sustancialmente más bajas que otros cabezales de pozos dentro de este límite. Una subárea está posicionada en la parte sur-central de la zona reactiva dirigida por datos y otro está posicionado en la parte central este de la zona reactiva dirigida por datos. Ambas subáreas contienen pozos que exhiben temperaturas que están por debajo de los 130 grados F. El Comité de la Reacción continúa revisando y analizando los datos registrados en los pozos dentro de estas subáreas para evaluar si varios parámetros operativos indican que la gravedad de la reacción se está reduciendo dentro de estas subáreas, como se evidencia con las temperaturas en disminución y el aumento de las relaciones de metano a dióxido de carbono y la reducción del contenido de H₂ en pozos selector dentro de estas subáreas.

DATOS DE LAS SONDAS DE MONITOREO DE TEMPERATURA

El Comité de la Reacción revisó las mediciones de temperatura registradas durante enero de 2026 utilizando las sondas de monitoreo de temperatura in-situ. A enero de 2026, siete de las 37 sondas (TP-2, TP-3, TP-9, TP-11, TP-15, TP-18 y TP-21) están dentro del límite de la zona reactiva dirigida por datos (línea de puntos magenta). De las 30 sondas restantes colocadas fuera de los límites, 11 sondas se encuentran ubicadas dentro de una proximidad relativamente cercana (dentro de los 200 pies) de este límite.

Los informes semanales de la sonda de monitoreo de temperatura presentados a principios de diciembre indicaron que ciertos valores de temperaturas medidos en TP-08 fueron erróneos por un mal funcionamiento de los equipos. Este problema se identificó inicialmente en septiembre y las reparaciones en el cableado sueldo se realizaron a mediados de octubre. Sin embargo, las lecturas erróneas continuaron durante noviembre y hacia principios de diciembre hasta que se cambió el equipo, por lo tanto el Comité de la Reacción no consideró que estos valores de temperatura sean válidos durante nuestro análisis mensual previo. Ante una revisión de los datos registrados en TP-8 durante el período del 25 de diciembre de 2025 al 4 de febrero de 2026, el Comité de la Reacción consultó sobre una mayor investigación de la validez de los datos y el lugar respondió que se había confirmado que las termocuplas estaban funcionando correctamente. Sin embargo, los valores de las temperaturas registrados en los intervalos de todas las profundidades son inusualmente inconsistentes y variables y algunas termocuplas demuestran cambios de calor y frío mayores a 25 grados dentro del período de 6 semanas, que es algo atípico y muy irregular si se lo compara con los datos registrados en esta TMP antes de septiembre de 2025. El Comité de la Reacción continúa sospechando de la confiabilidad de las termocuplas dentro de TP-8.

El Comité de la Reacción evaluó las temperaturas registradas en las 37 TMPs, con particular atención a las siguientes temperaturas máximas:

- TP-24: 199 grados F en el intervalo a los 265 pies;
- TP-25: 207 grados F en el intervalo a los 130 pies;
- TP-26: 177 grados F en el intervalo a los 150 pies;
- TP-29: 187 grados F en el intervalo a los 240 pies;
- TP-31: 188 grados F en el intervalo a los 230 pies; y
- TP-37: 183 grados F en el intervalo a los 180 pies.

Estas termocuplas registraron temperaturas relativamente consistentes en el período de seis semanas anterior del 18 de diciembre de 2025 al 28 de enero de 2026, excepto para TP-25 que ha experimentado aumentos de temperatura sustanciales atípicos desde noviembre, que puede atribuirse a pozos y bombas en los alrededores, que se están retirando de servicio y después reactivando para permitir el despliegue de la cubierta de geomembrana de EVOH/HDPE. Los aumentos de temperatura inusuales dentro de TP-25 solo ocurrieron en los intervalos de profundidad a 110 pies y a 130 pies y continuaron hasta comenzar y reducirse abruptamente a fines de diciembre. TP-25 exhibió una reducción de 8 grados F durante enero, bajando de 207 a 199 grados F.

Las temperaturas máximas registradas durante enero en termocuplas específicas en TP-24, TP-29, TP-31 y TP-37 están entre 183 y 199 grados F. Las temperaturas de los desechos dentro de este rango podrán no ser inusuales dentro de las zonas de desechos más profundidad posicionadas entre 180 y 265 pies por debajo de la superficie del vertedero.

Sin embargo, las temperaturas dentro de este rango podrían ser potencialmente un indicativo de generación y acumulación de calor asociado a condiciones de la reacción cuando hay también cambios en la composición del gas, producción excesiva de lixiviados, cambios en la composición de lixiviados, asentamiento acelerado, presiones excesivas y otras características de ETLF. Hay una menor diferenciación entre las temperaturas máximas en 30 días en estas cuatro sondas, comparadas con las temperaturas máximas en 30 días medidas en las cuatro sondas dentro del límite de la zona de la reacción dirigida por datos (línea de puntos magenta), específicamente TP-3, TP-9, TP-15 y TP-21. Sin embargo, los pozos de LFG que rodean estas cuatro sondas no están demostrando evidencia de calor o metanogénesis impedida que lo corrobore, como se indica a continuación:

- Los cuatro pozos que están alrededor de TP-24 (CV-24086, CV-24087, CV-24174 y CV-24175) registraron temperaturas promedio en el cabezal del pozo de LFG durante enero de 108 grados F, que es muy por debajo del rango asociado a las condiciones de ETLF. Esos cuatro pozos también registraron concentraciones de metano promedio de un 40 por ciento durante este período, que es consistente con producción de metano de biogás típica para estas Instalaciones.
- El pozo CV-24218 que está muy cerca de TP-26 registró una temperatura en el cabezal del pozo de LFG durante enero de 124 grados F y una concentración de metano del 40 por ciento durante este período, que sugiere condiciones de descomposición normal de la subsuperficie asociada a la producción de metano.
- Los tres pozos que rodean TP-29 (CV-24091, CV-24171 y CV-24207) registraron temperaturas promedio en el cabezal del pozo de LFG durante enero de 116 grados F y concentraciones de metano promedio del 51 por ciento durante este período, que sugiere condiciones de descomposición normal de la subsuperficie asociada a la producción de metano.
- Los dos pozos contiguos a TP-31 (CV-2319 y CV-24111) registraron temperaturas promedio en el cabezal del pozo de LFG durante enero de 122 grados F, que es muy por debajo del rango asociado a las condiciones de ETLF. Mientras que la concentración promedio de metano en CV-2319 durante los últimos tres meses es del 18 por ciento, la concentración promedio de metano en CV-24111 durante los últimos tres meses fue del 45 por ciento, que es consistente con producción de metano de biogás típica para estas instalaciones.
- El pozo contiguo a TP-37 (CV-24109) registró una temperatura de cabezal de pozo de LFG durante enero de 100 grados F y una concentración de metano del 38 por ciento, que no son valores asociados a condiciones de ETLF.

Entonces, los pozos que están alrededor de estas cuatro sondas no exhiben evidencia de calor atípico o de la composición del LFG asociado a condiciones de ETLF.

Por lo tanto, el Comité de la Reacción no cree que se justifique en este momento un ajuste en el límite de la Zona Reactiva que incluya las partes de la huella de desechos que incluya TP-24, TP-25, TP-26, TP-29, TP-31 y/o TP-37.

CONCENTRACIONES DE HIDRÓGENO

El Comité de Reacción también evaluó la concentración de H₂ en el LFG durante enero de 2026. Recordamos que ciertos pozos posicionados al Sur este del límite de la Zona Reactiva (donde las bombas de desagote experimentaron algunas bajas de servicio debido a la instalación de las cubiertas de EVOH/HDPE y fueron reactivadas en subáreas selectas) habían demostrado periódicamente algún aumento en el contenido de H₂ en el LFG durante la revisión del Comité de Reacción de los datos de los meses anteriores, que fue un caso similar para los datos de enero de 2026. El Comité de la Reacción notó en su revisión de los datos que estos pozos no exhibieron temperaturas elevadas, excepto en los pozos CV-2344, CV-24068, CV-24076, CV-24148 y CV-24219. Las condiciones en cuatro de estos cinco pozos se tratan en otras secciones de este informe y CV-24068 exhibió una temperatura promedio en el cabezal del pozo de 152 grados F y una concentración de metano promedio del 20 por ciento durante enero, que es inconsistente con las características de ETLF en estas Instalaciones. Las temperaturas promedio no ofrecen evidencia del aumento de calor que es típico con condiciones de ETLF en los otros pozos, exhibiendo concentraciones de H₂ atípicas. Como se notó previamente, el Comité de la Reacción sospecha que este aumento en el contenido de H₂ podría atribuirse a los sustanciales desagotes que se están logrando en toda la Zona Reactiva y podría estar asociado al movimiento de gas desde adentro de la Zona Reactiva por los colectores horizontales cercanos existentes. Por lo tanto, la presencia de H₂ elevado en estos lugares aislados no sugieren que las condiciones de ETLF se estén expandiendo hacia el sur y hacia el este del límite delineado. Por lo tanto, el Comité de Reacción no cree que se justifique un ajuste en el límite de la Zona Reactiva, excepto el ajuste indicado arriba, en este momento.

CONCLUSIÓN

Como se presenta en el Plano incluido como **Adjunto A**, el alcance estimado de las condiciones de ETLF (línea de puntos de color magenta) está completamente contenida dentro del límite del Área de Reacción decretado en la SOFA (línea sólida negra) o coincide con ella a lo largo del límite este de la Celda 1/2A como se indicó previamente. Como las condiciones del ETLF están completamente contenidas dentro del límite del Área de Reacción y no experimentaron ninguna celda nueva, el Comité de Reacción no encuentra ninguna base para modificar el límite del Área de Reacción como se indica en la Condición 9a, en este momento.

No hubo ninguna opinión disidente entre los miembros del Comité de Reacción sobre esta determinación mensual. Los datos de respaldo se presentan en el Plano incluido como **Adjunto A**. Las mediciones de temperaturas máximas registradas en las 37 sondas de monitoreo de temperatura de los desechos in-situ (tanto valores de 7 Días como de 30 Días) durante enero se presentan en el **Adjunto B** en formato gráfico. Las temperaturas en el cabezal de pozo de LFG registradas en los pozos de extracción en toda la huella del Vertedero se reflejan en el mapa de rango de gradiente isotérmica presentado como **Adjunto C**. Las relaciones de CH₄:CO₂ medidas en los cabezales de pozos de LFG en la vecindad del límite de la Zona Reactiva dirigida por datos se exhiben en el mapa de rangos presentado como **Adjunto D**. Las concentraciones de H₂ medidas en los cabezales de pozos de LFG cerca del límite de la Zona Reactiva dirigida por datos se

Sr. Baitong Chen
10 de febrero de 2026
Página 7

exhiben en el mapa de rangos como **Adjunto E**. Las concentraciones de CO medidas en los cabezales de pozos de LFG en la vecindad del límite de la Zona Reactiva dirigida por datos se exhiben en el mapa de rangos presentado como **Adjunto F**. Los valores isopáquicos del asentamiento de la superficie del vertedero medidos trimestralmente (1 de octubre de 2025 comparado con los del 30 de diciembre de 2025) cerca del límite de la Zona Reactiva dirigida por datos se exhiben en el mapa de rangos como **Adjunto G**. La base de datos electrónica y la plataforma de registros permite que estas mediciones puedan descargarse en un formato de hoja de cálculo tabular, que puede ser presentado al Distrito de Gestión de la Calidad del Aire de la Costa Sur en una portada separada, si lo solicitan.

Por favor, comuníquese con el firmante si tiene preguntas o si necesita más información. Atentamente,



Robert E. Dick, PE, BCEE
Vicepresidente Sénior
SCS Engineers



Patrick S. Sullivan, BCES, CCP
Vicepresidente Sénior
SCS Engineers

RED/PSS

cc: Nathaniel Dickel, SCAQMD
Christina Ojeda, SCAQMD
Patrick S. Sullivan, REPA, CPP, BCES, SCS Engineers
Pablo Sánchez Soria, PhD, CIH, CTEH
Neal Bolton, PE, Blue Ridge Services, Inc.
Richard Pleus, PhD, Intertox
Srividhya Viswanathan, PE, SCS Engineers

Adjuntos:

Adjunto A - Mapa del Área de Reacción
Adjunto B - Datos de las Sondas de Monitoreo de Temperatura de los Desechos In-Situ
Adjunto C - Mapa de Distribución de Gradientes Isotérmicas
Adjunto D - Mapa de Distribución de Metano-Dióxido de Carbono del Cabezal del Pozo
Adjunto E - Mapa de Distribución de Hidrógeno en el Cabezal del Pozo
Adjunto F - Mapa de Distribución de Monóxido de Carbono del Cabezal del Pozo
Adjunto G - Mapa Isopáquico de Distribución de los Asentamientos

Perfiles de Temperatura Máxima en Cabezales de Pozos de Desechos Sólidos Durante 6 Semanas del 25/12/2025 al 4/2/2026

Desde el 29 de enero de 2026 hasta el 4 de febrero de 2026 hubo un aumento en las temperaturas registradas que han activado los límites de aviso establecidos por la carta de la LEA del 4 de octubre de 2024. La mayoría de las termocupas mostraron retornos a temperaturas registradas previamente.

Además, al 11 de diciembre de 2025 se habían instalado Cinco TMPs nuevas (TMP-36, TMP-37, TMP-38, TMP-39 y TMP-40) y están en línea, además de las 12 TMPs que se habían instalado previamente al 4 de abril de 2025. Ninguna de estas nuevas TMPs indican que hayan ocurrido temperaturas de reacción fuera del límite de la zona reactiva dirigido por datos actualmente delineado y las cuatro TMPs que pudieron perforarse dentro de los 25 pies del revestimiento (TMP-24, TMP-27, TMP-31 y TMP-32) indican temperaturas significativamente más frescas en la termocupa más profunda, como se previó, debido al enfriamiento de la tierra subyacente.

Chiquita proporciona las siguientes actualizaciones:

- TP-08
 - La termocupa a 15 pies se mantuvo consistente con las temperaturas registradas previas.
 - La termocupa a los 150 pies indicó una lectura anómala una sola hora 207 °F el 4 de febrero y después regresó a temperaturas consistentes con las lecturas previas. El cableado de la termocupa a los 150 pies será inspeccionado para observar si tiene conexiones sueltas.
- TP-11
 - La termocupa de 80 pies mostró un aumento en la temperatura máxima de 21 °F de 156 °F a 177 °F desde el 29 de enero hasta el 1 de febrero.
- TP-13
 - La termocupa a 15 pies se mantuvo consistente con las temperaturas registradas previas.

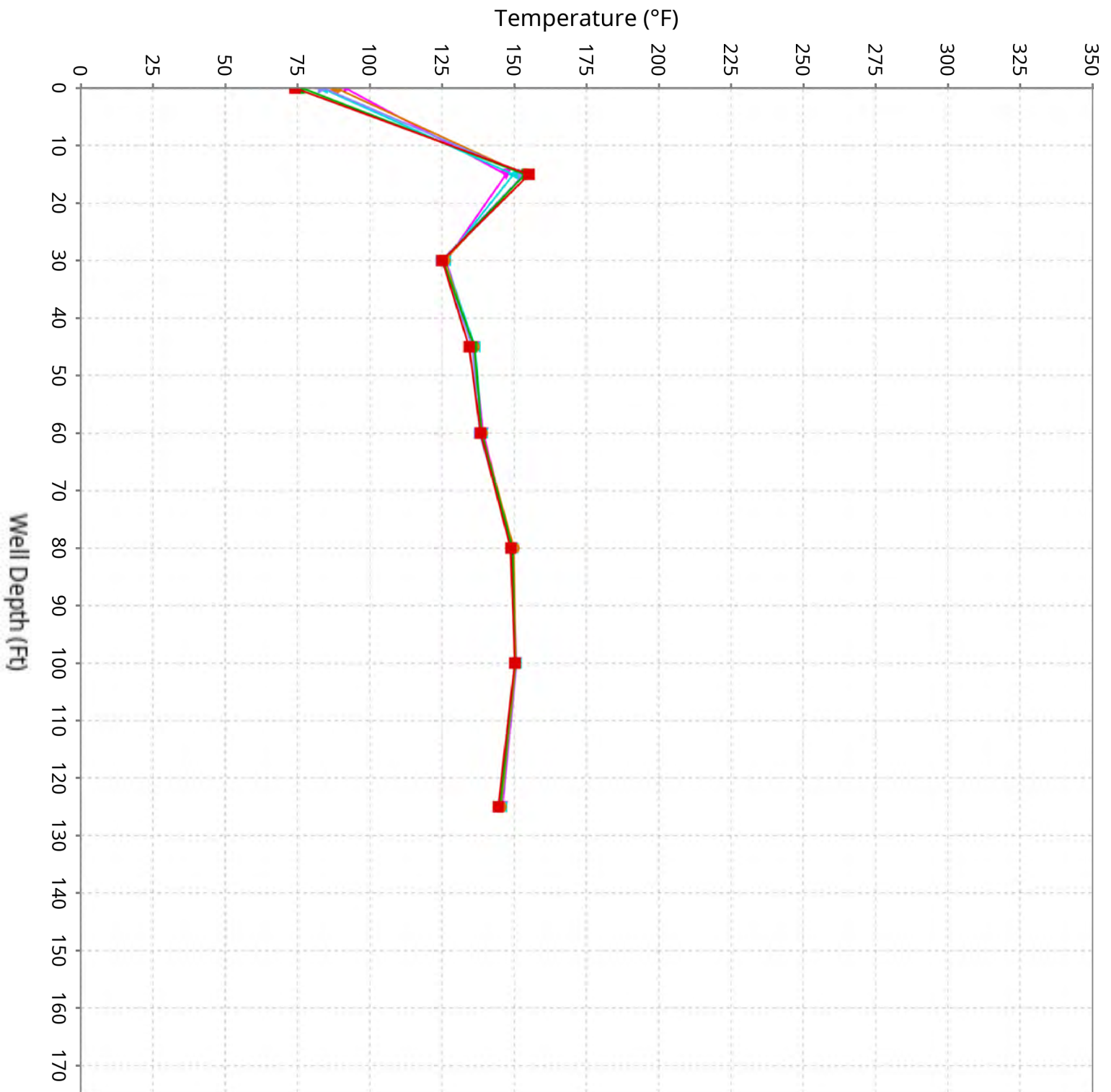
SCS ENGINEERS

07224053.00 | 5 de febrero de 2026

274 Granite R Drive
Lancaster, PA 17601
717-550-6330

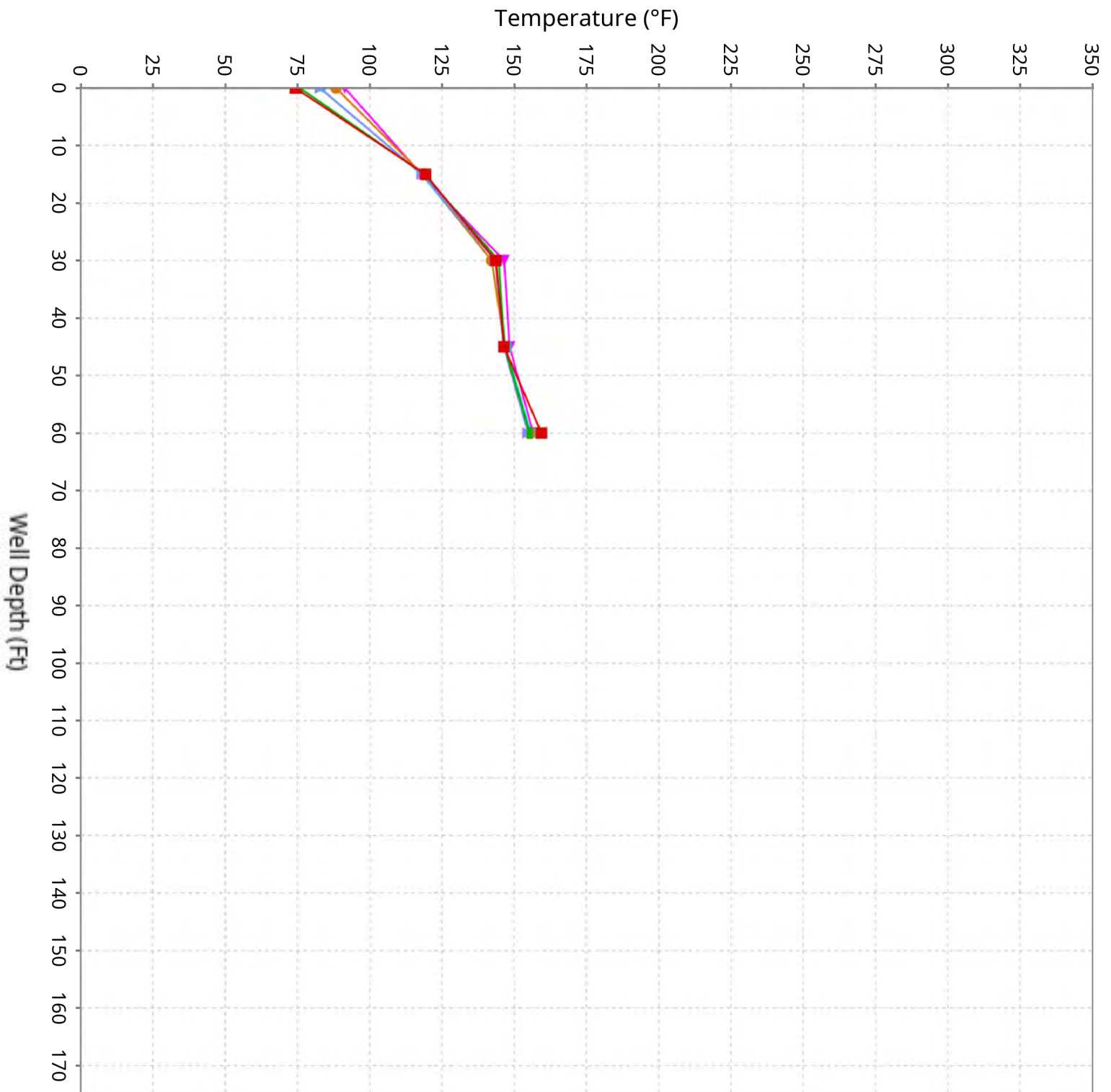
Vertical Temperature Profiles from Temperature Probes at Chiquita Landfill for TP-1

Maximum data for 12/25/2025 to 2/4/2026



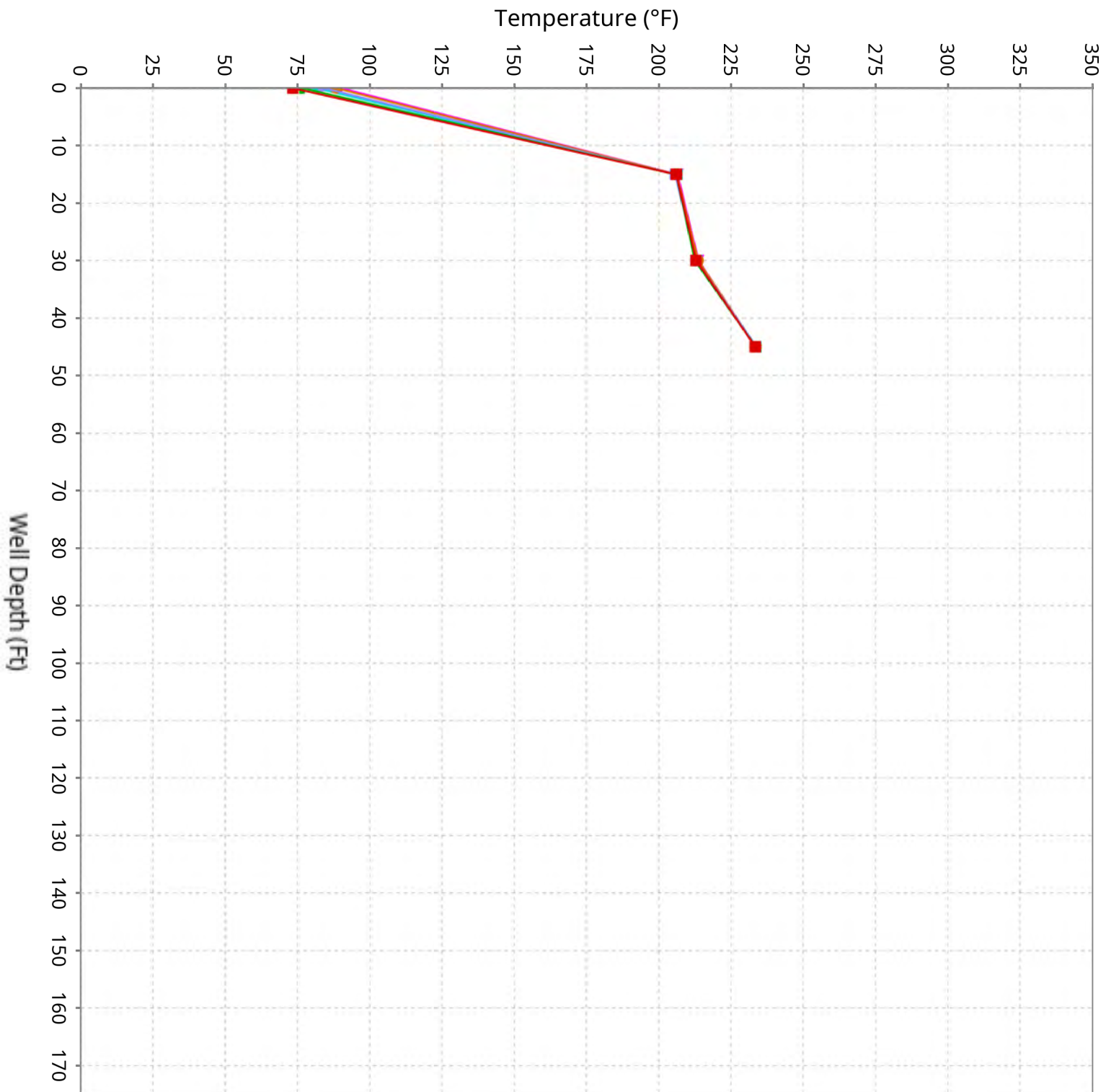
Vertical Temperature Profiles from Temperature Probes at Chiquita Landfill for TP-2

Maximum data for 12/25/2025 to 2/4/2026



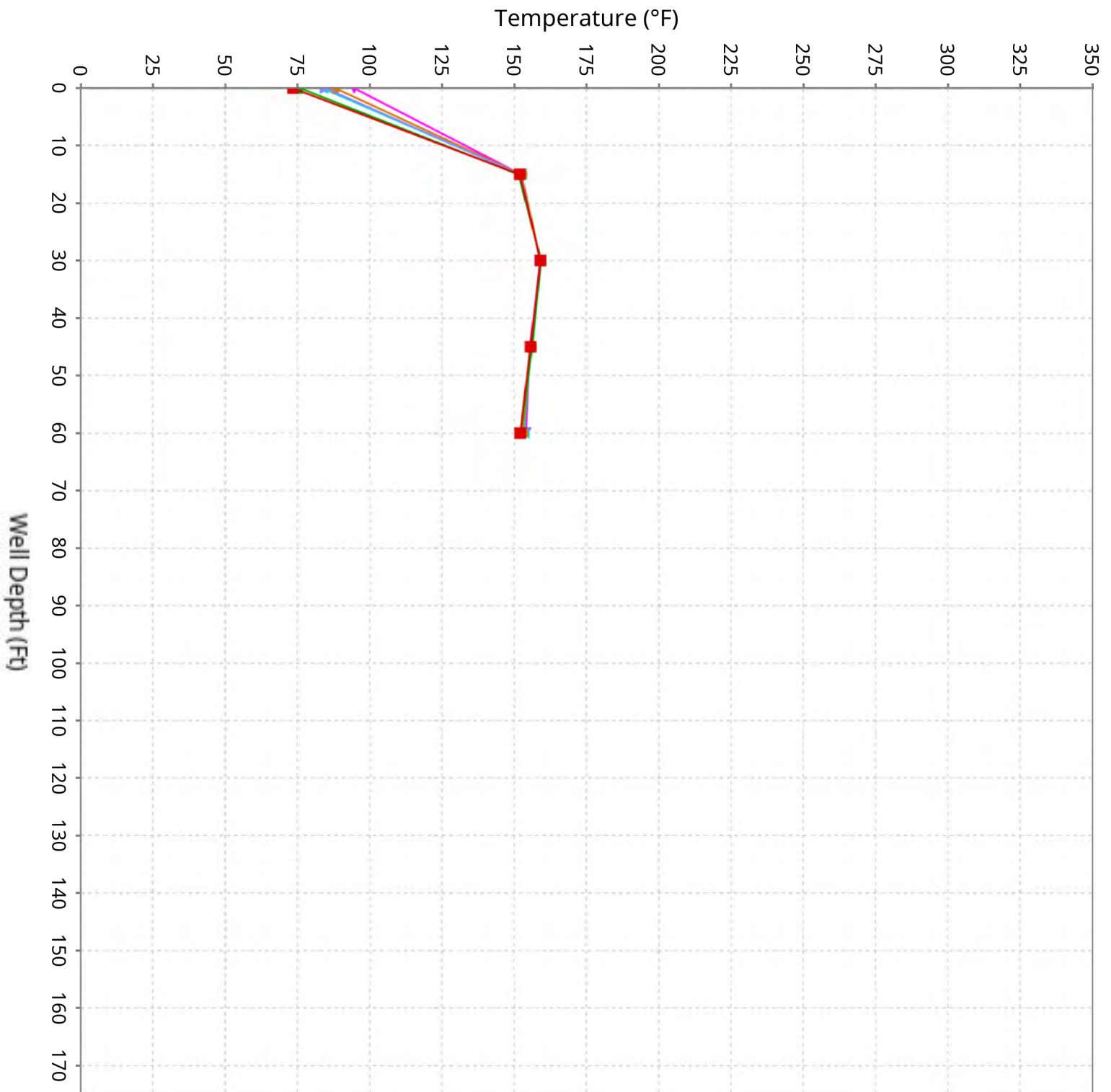
Vertical Temperature Profiles from Temperature Probes at Chiquita Landfill for TP-3

Maximum data for 12/25/2025 to 2/4/2026



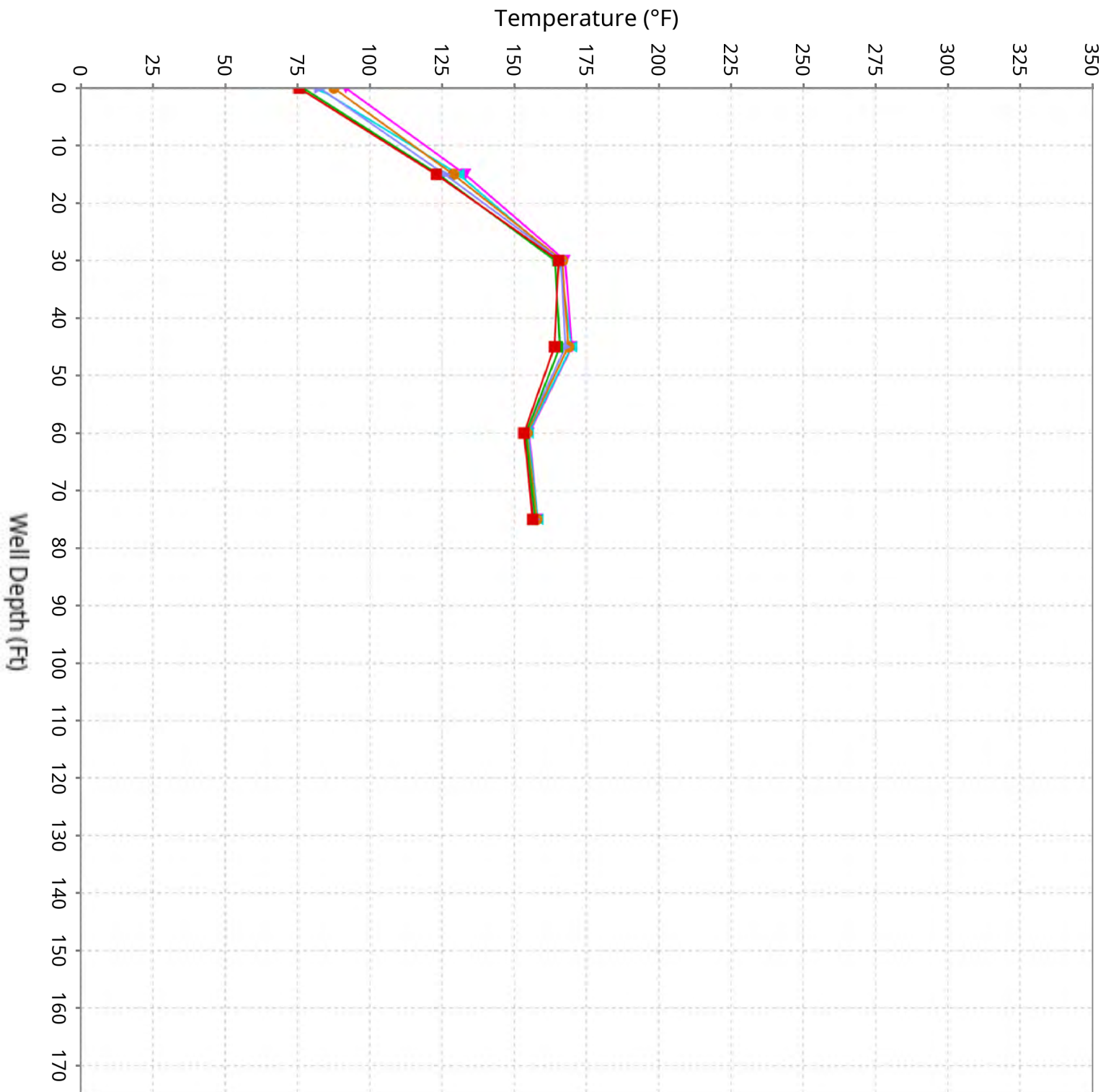
Vertical Temperature Profiles from Temperature Probes at Chiquita Landfill for TP-4

Maximum data for 12/25/2025 to 2/4/2026



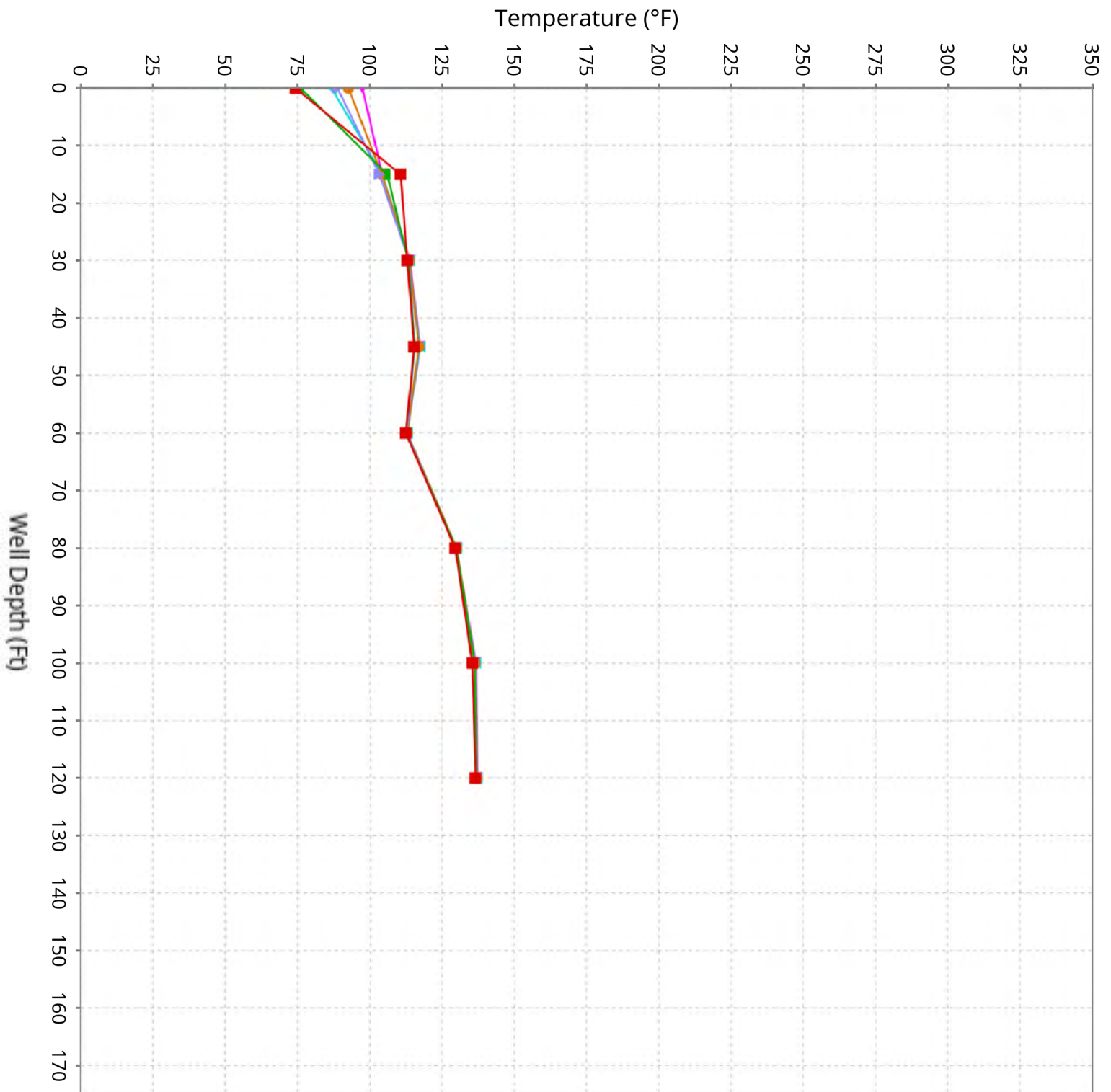
Vertical Temperature Profiles from Temperature Probes at Chiquita Landfill for TP-5

Maximum data for 12/25/2025 to 2/4/2026



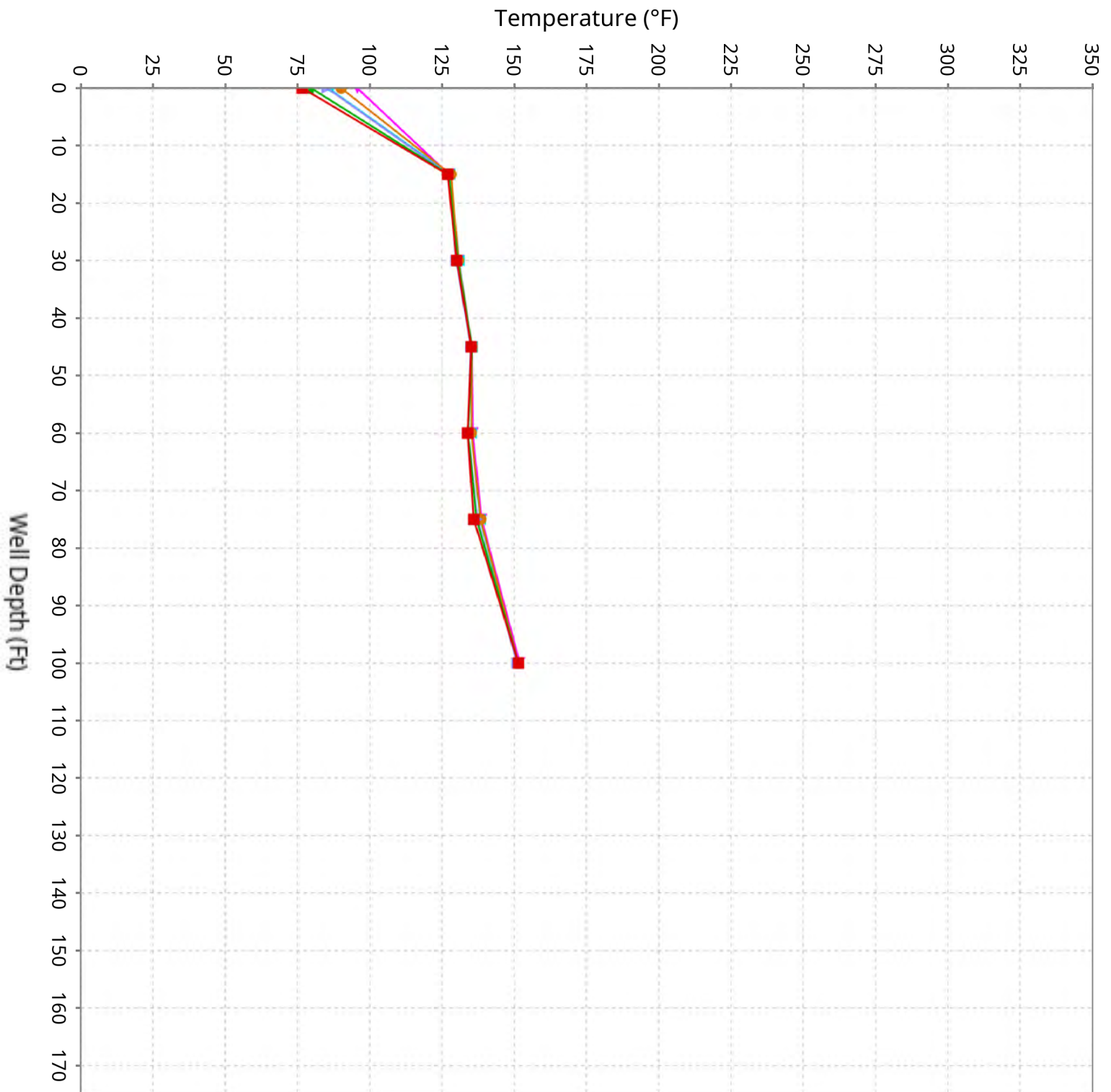
Vertical Temperature Profiles from Temperature Probes at Chiquita Landfill for TP-6

Maximum data for 12/25/2025 to 2/4/2026



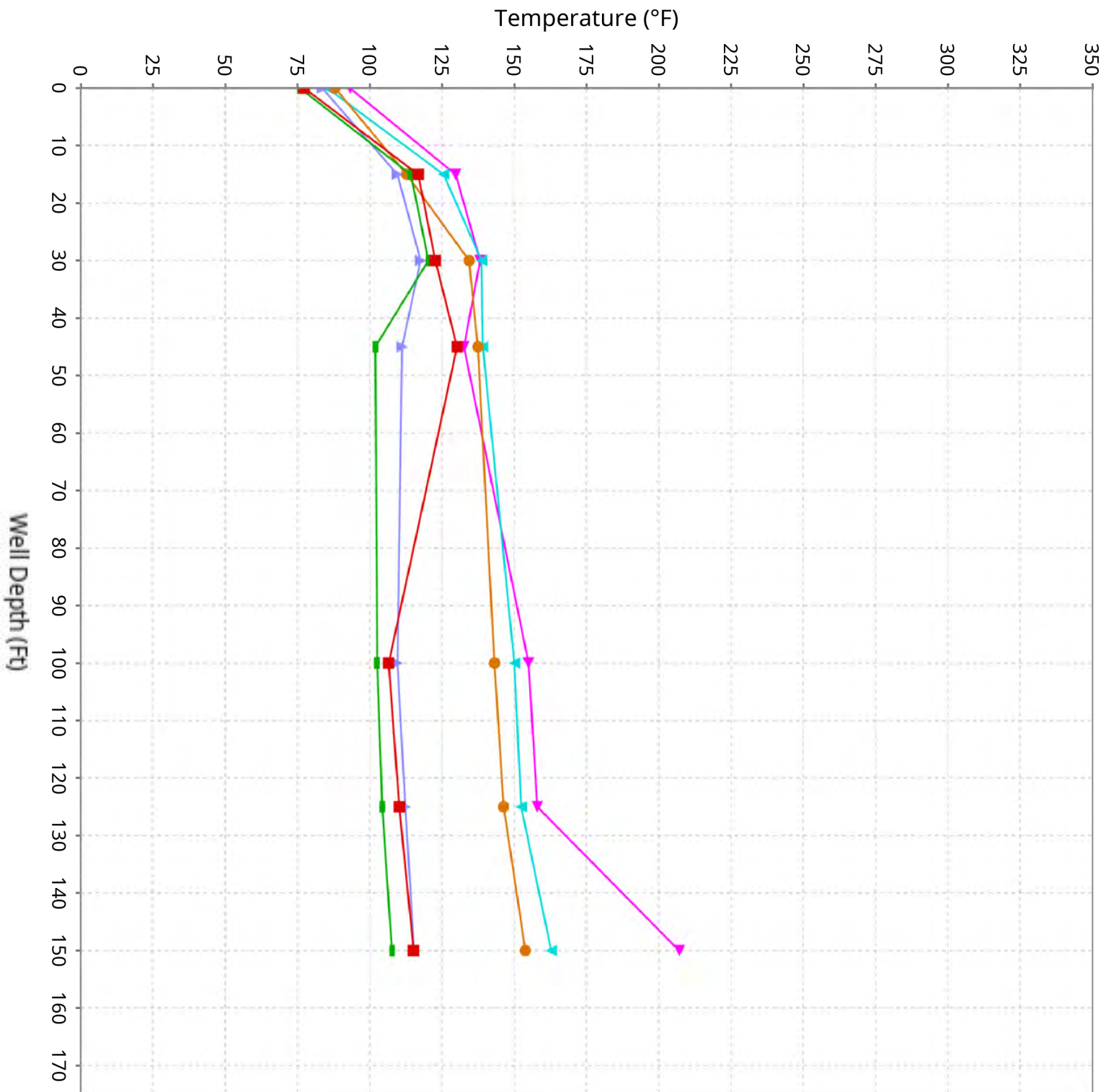
Vertical Temperature Profiles from Temperature Probes at Chiquita Landfill for TP-7

Maximum data for 12/25/2025 to 2/4/2026



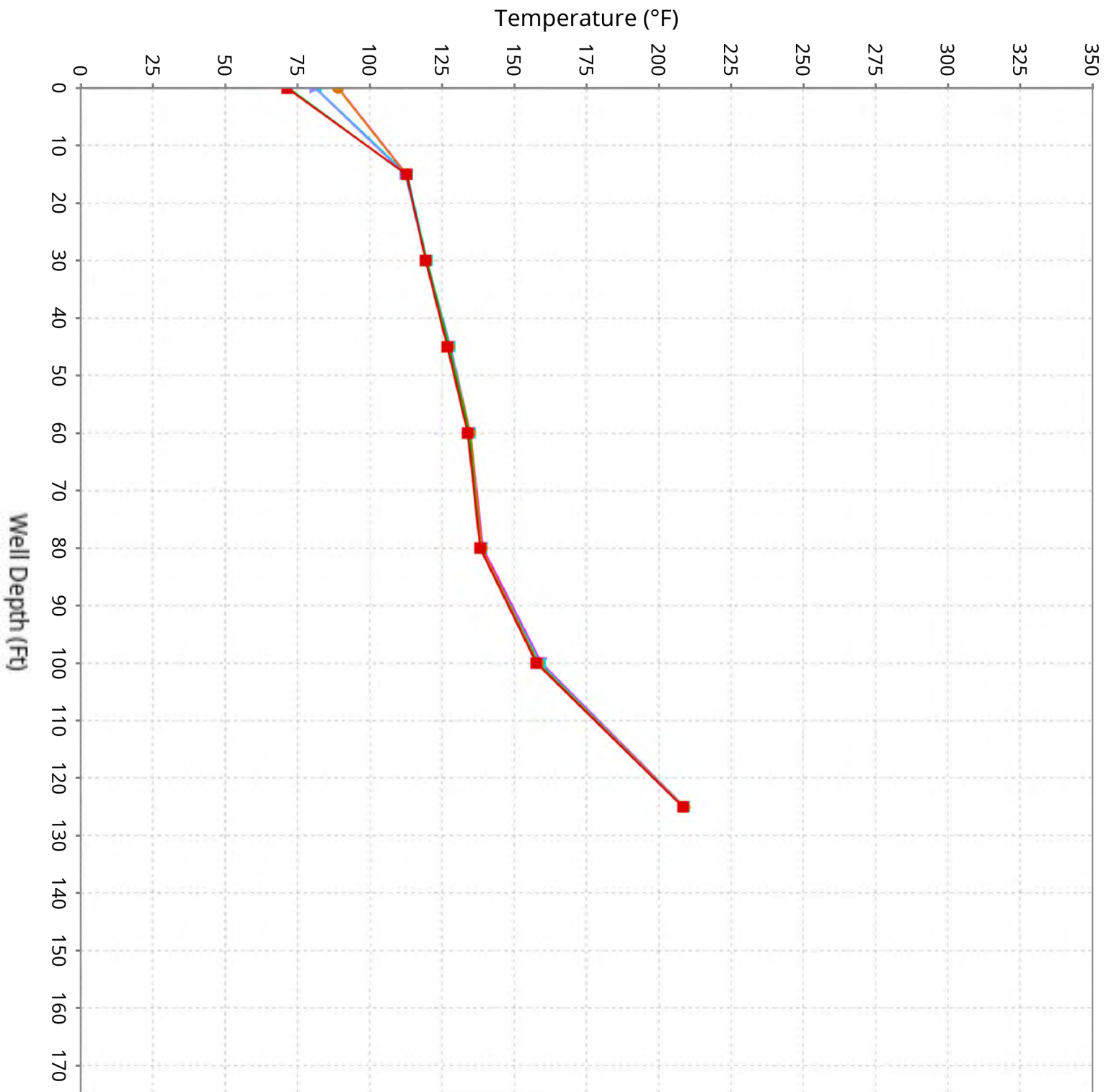
Vertical Temperature Profiles from Temperature Probes at Chiquita Landfill for TP-8

Maximum data for 12/25/2025 to 2/4/2026



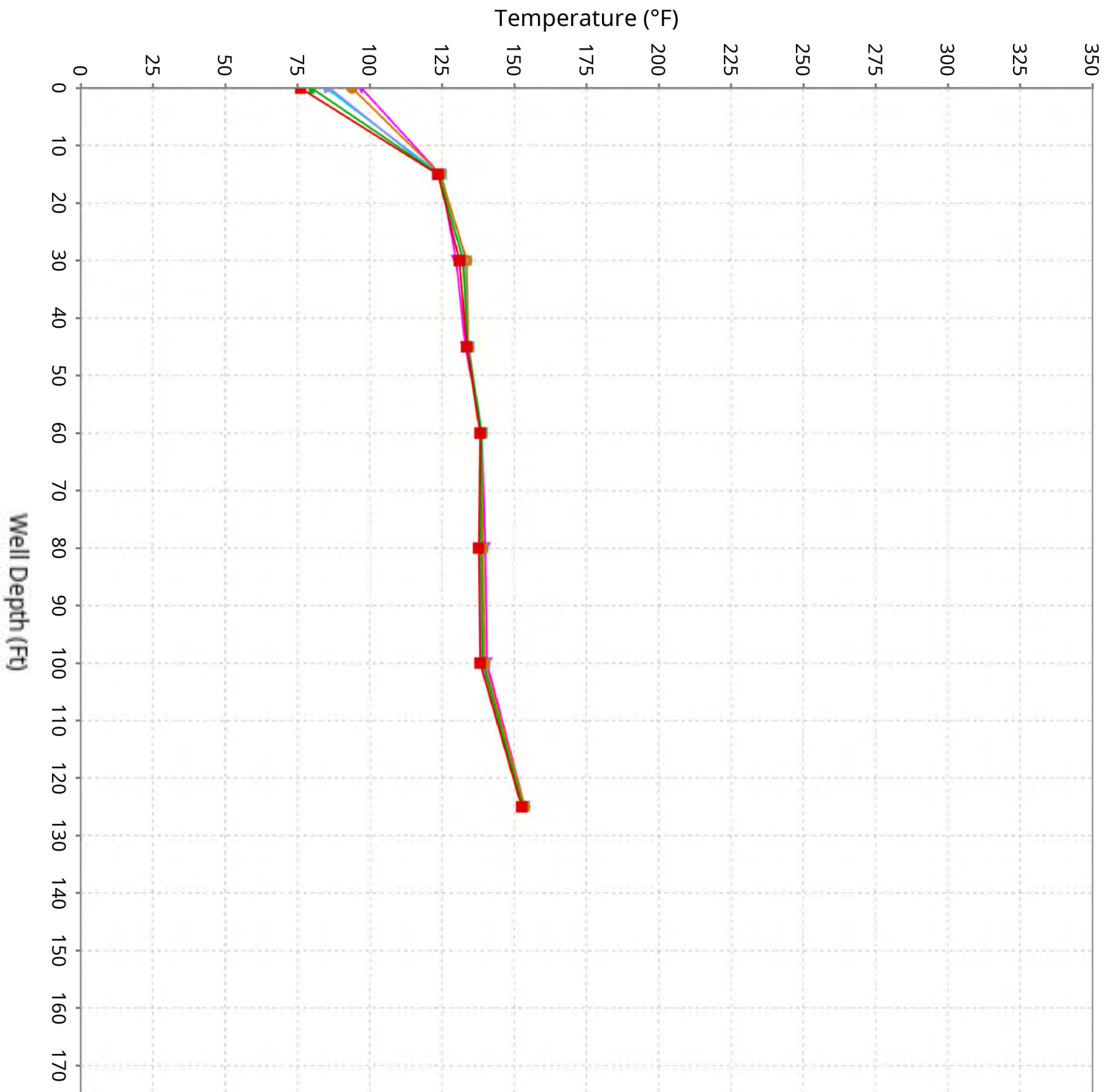
Vertical Temperature Profiles from Temperature Probes at Chiquita Landfill for TP-9

Maximum data for 12/25/2025 to 2/4/2026



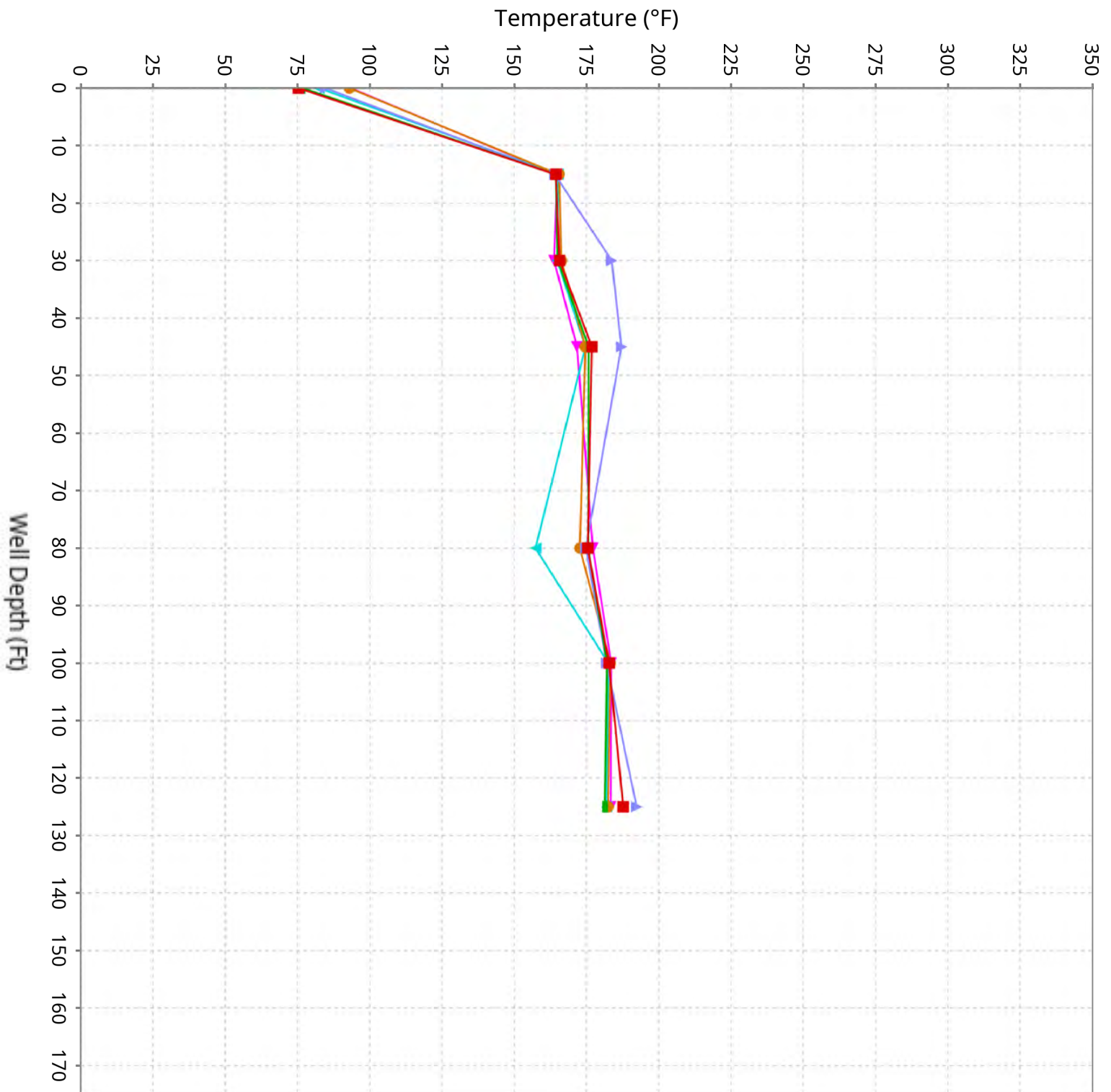
Vertical Temperature Profiles from Temperature Probes at Chiquita Landfill for TP-10

Maximum data for 12/25/2025 to 2/4/2026



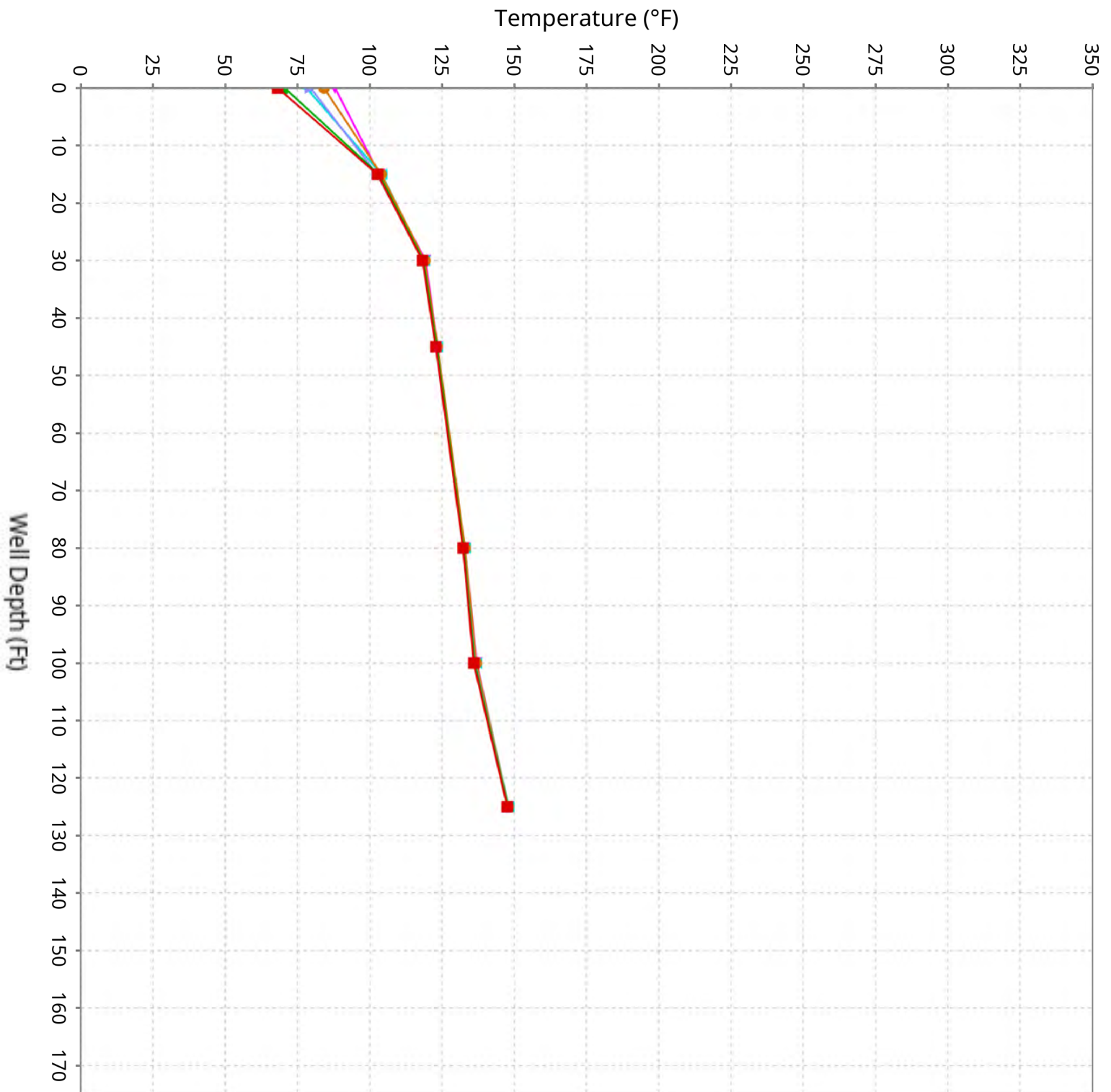
Vertical Temperature Profiles from Temperature Probes at Chiquita Landfill for TP-11

Maximum data for 12/25/2025 to 2/4/2026



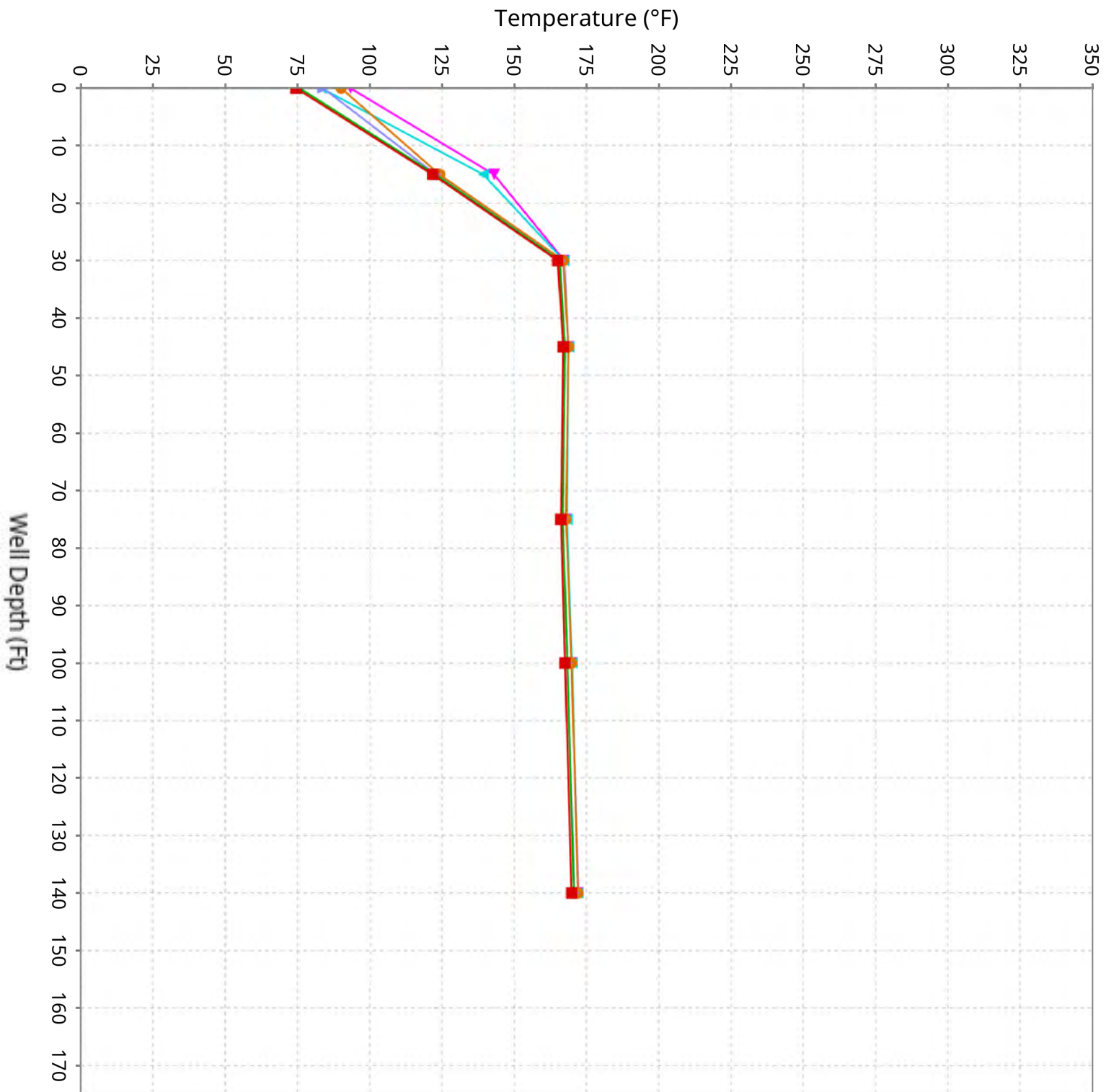
Vertical Temperature Profiles from Temperature Probes at Chiquita Landfill for TP-12

Maximum data for 12/25/2025 to 2/4/2026



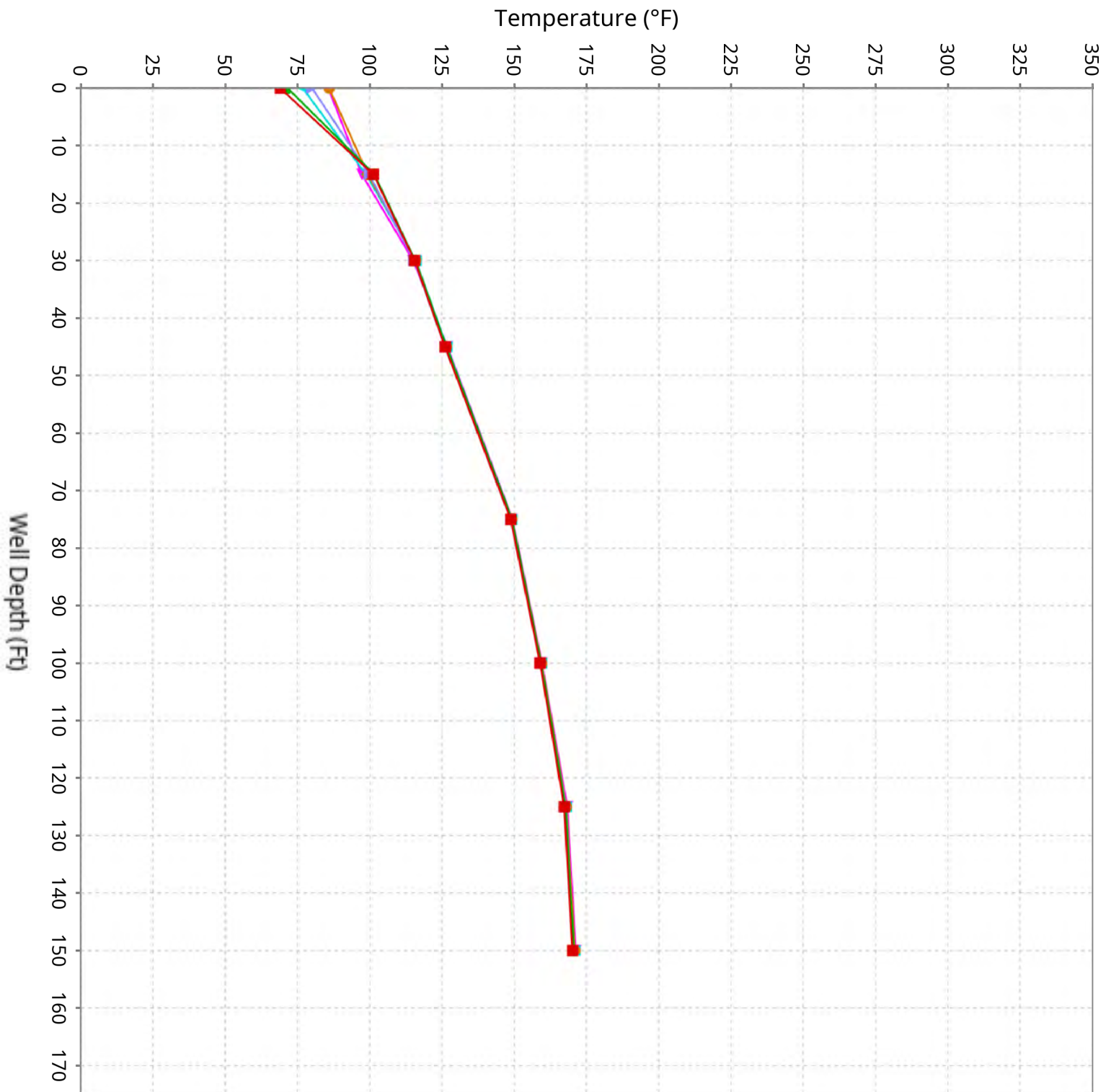
Vertical Temperature Profiles from Temperature Probes at Chiquita Landfill for TP-13

Maximum data for 12/25/2025 to 2/4/2026



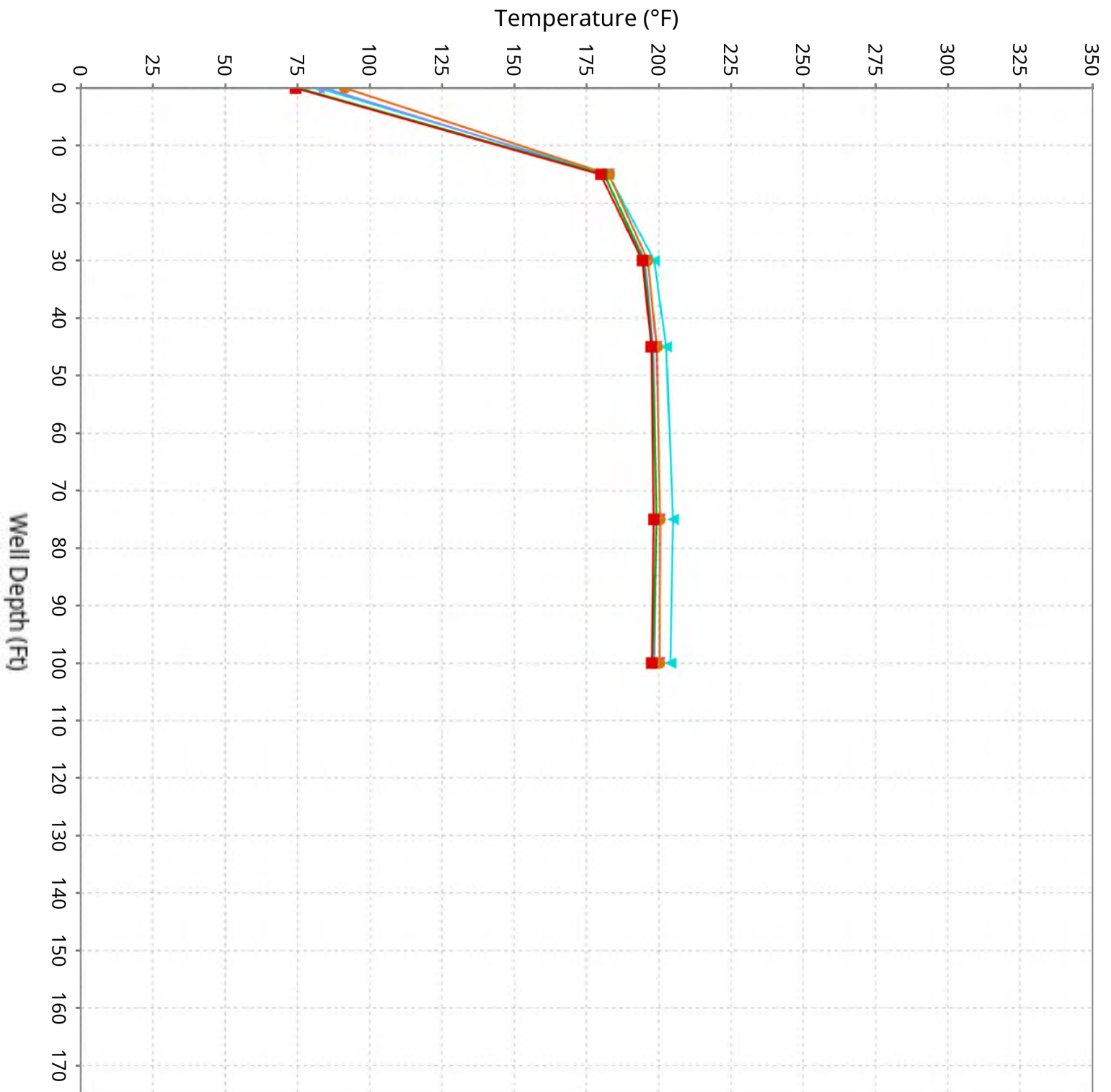
Vertical Temperature Profiles from Temperature Probes at Chiquita Landfill for TP-14

Maximum data for 12/25/2025 to 2/4/2026



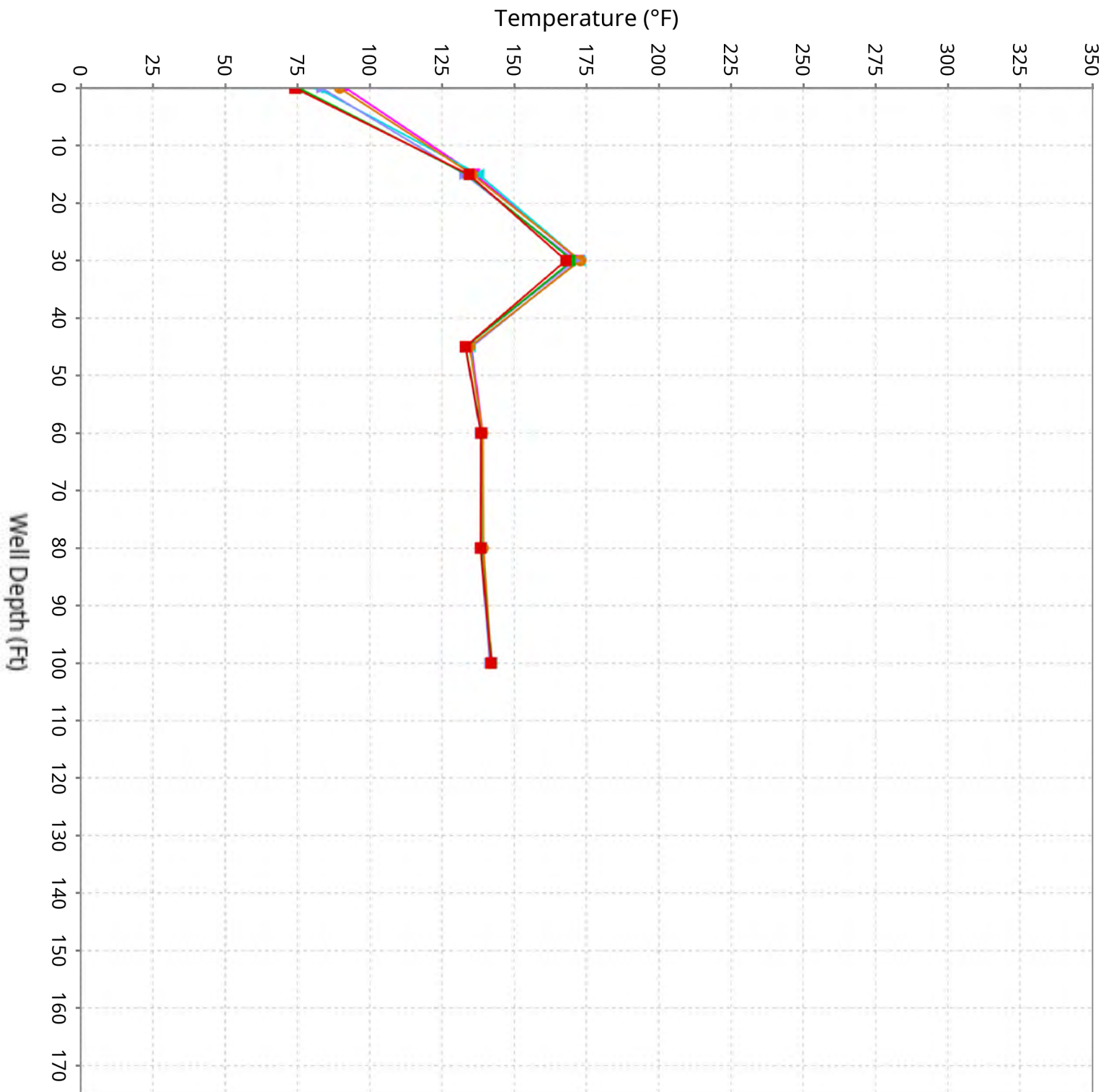
Vertical Temperature Profiles from Temperature Probes at Chiquita Landfill for TP-15

Maximum data for 12/25/2025 to 2/4/2026



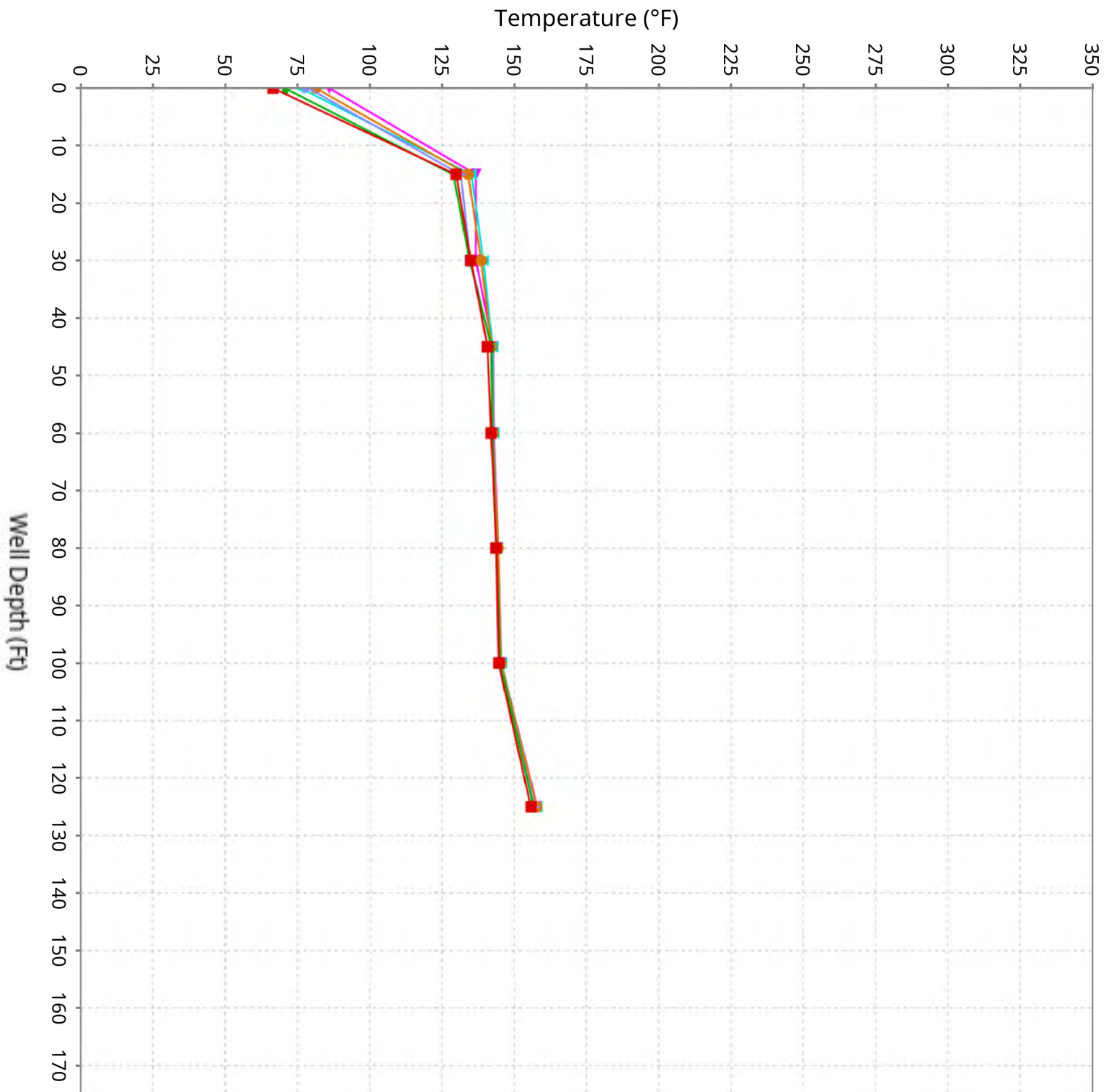
Vertical Temperature Profiles from Temperature Probes at Chiquita Landfill for TP-16

Maximum data for 12/25/2025 to 2/4/2026



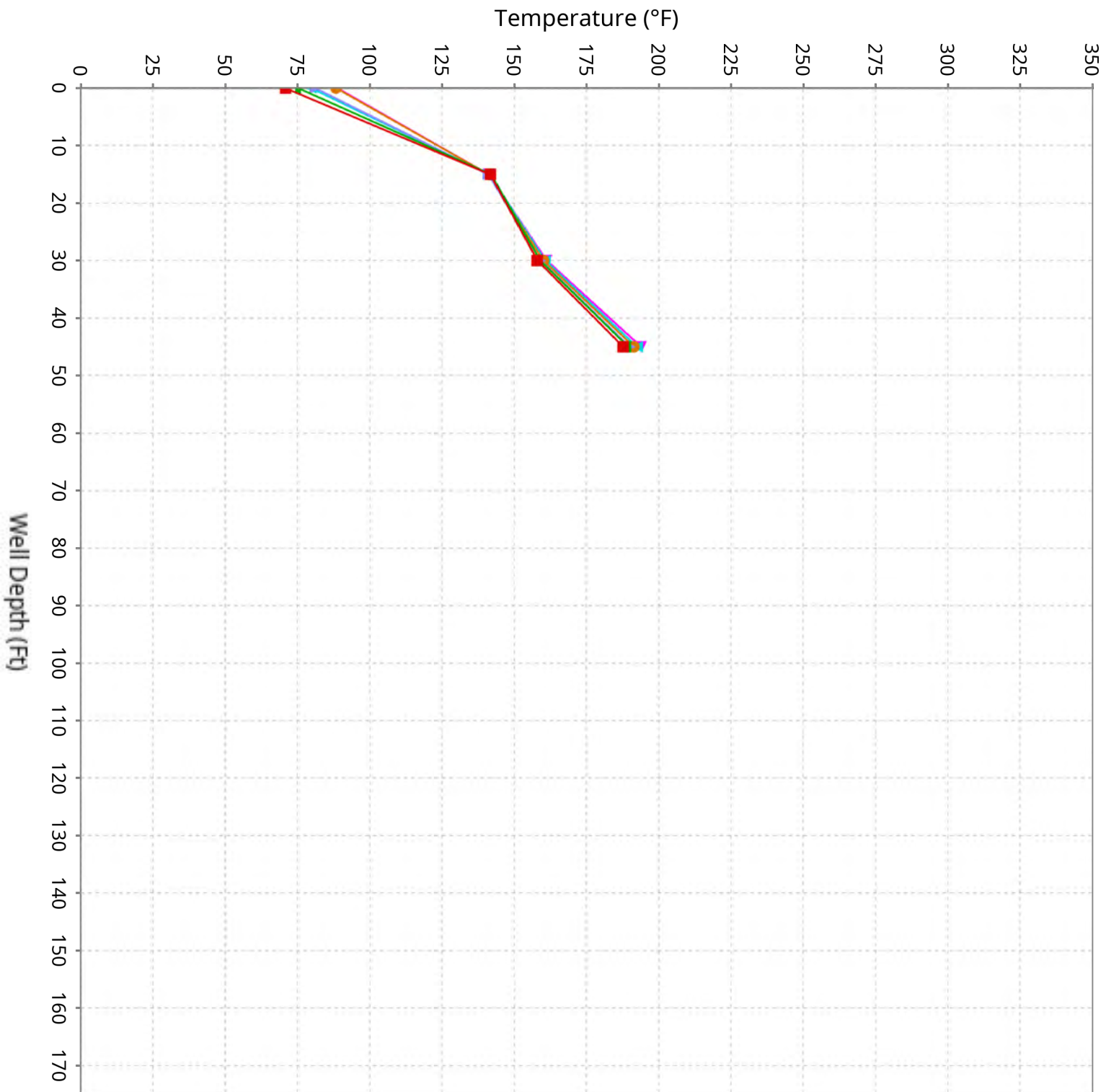
Vertical Temperature Profiles from Temperature Probes at Chiquita Landfill for TP-17

Maximum data for 12/25/2025 to 2/4/2026



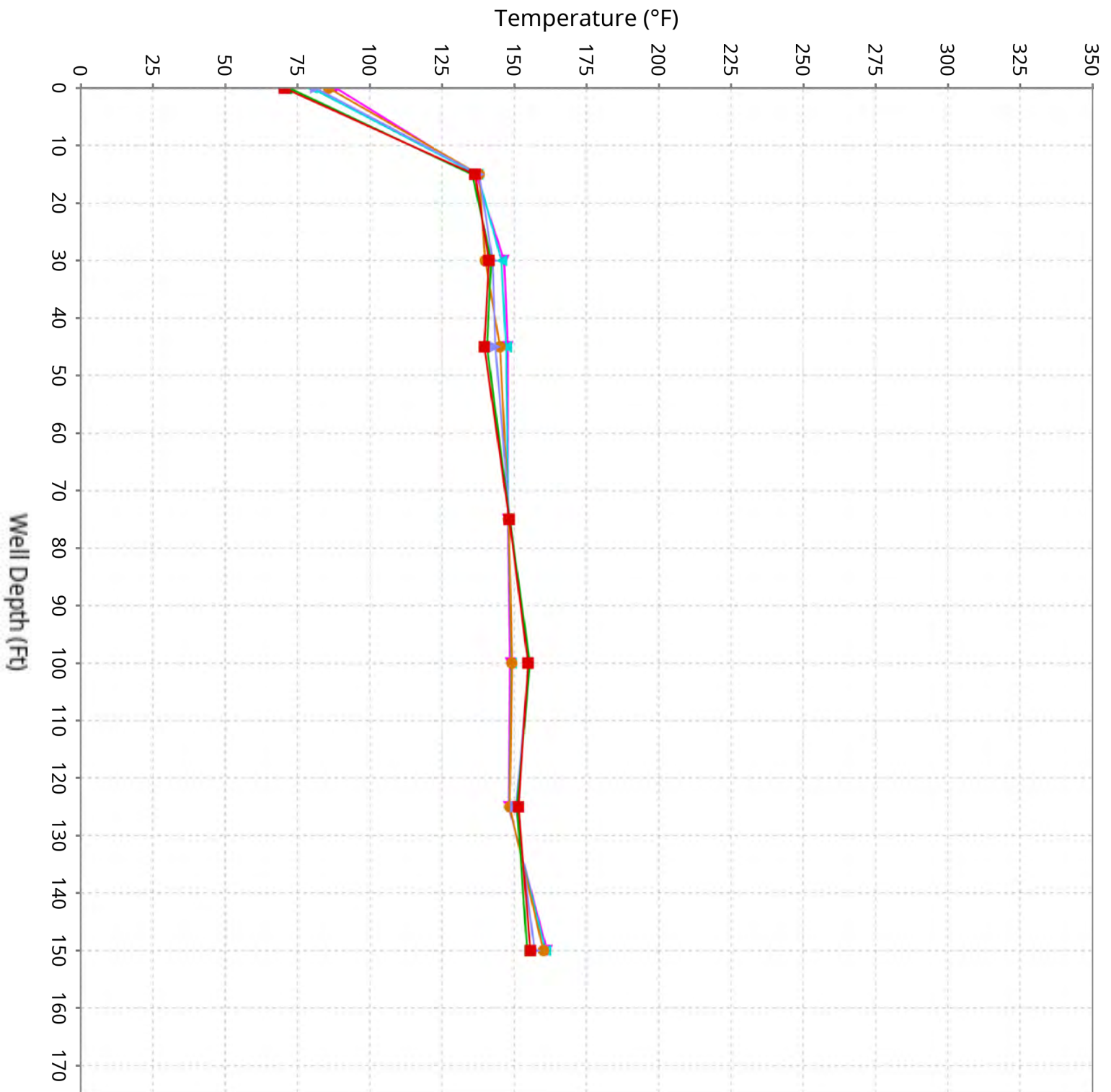
Vertical Temperature Profiles from Temperature Probes at Chiquita Landfill for TP-18

Maximum data for 12/25/2025 to 2/4/2026



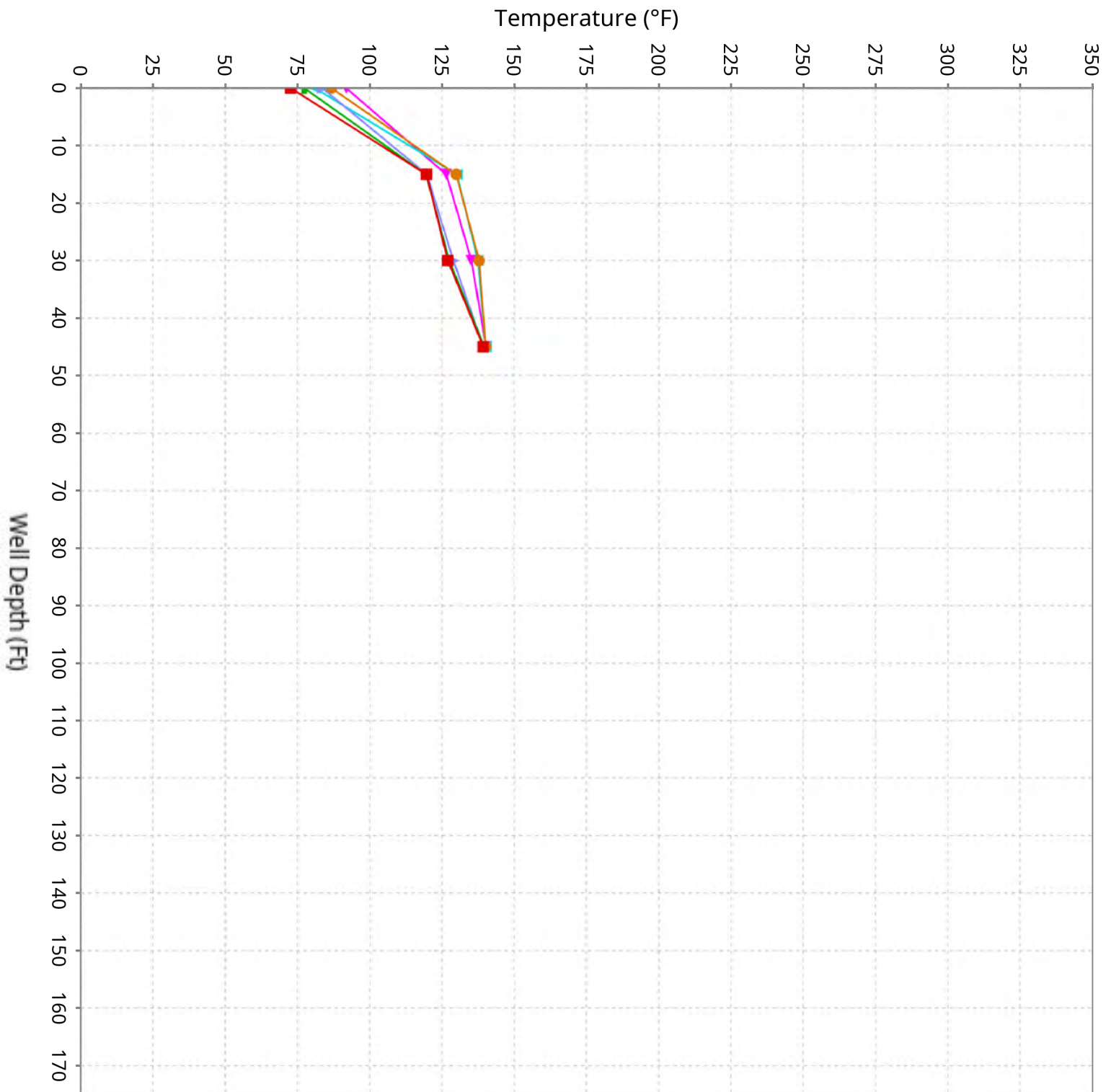
Vertical Temperature Profiles from Temperature Probes at Chiquita Landfill for TP-19

Maximum data for 12/25/2025 to 2/4/2026



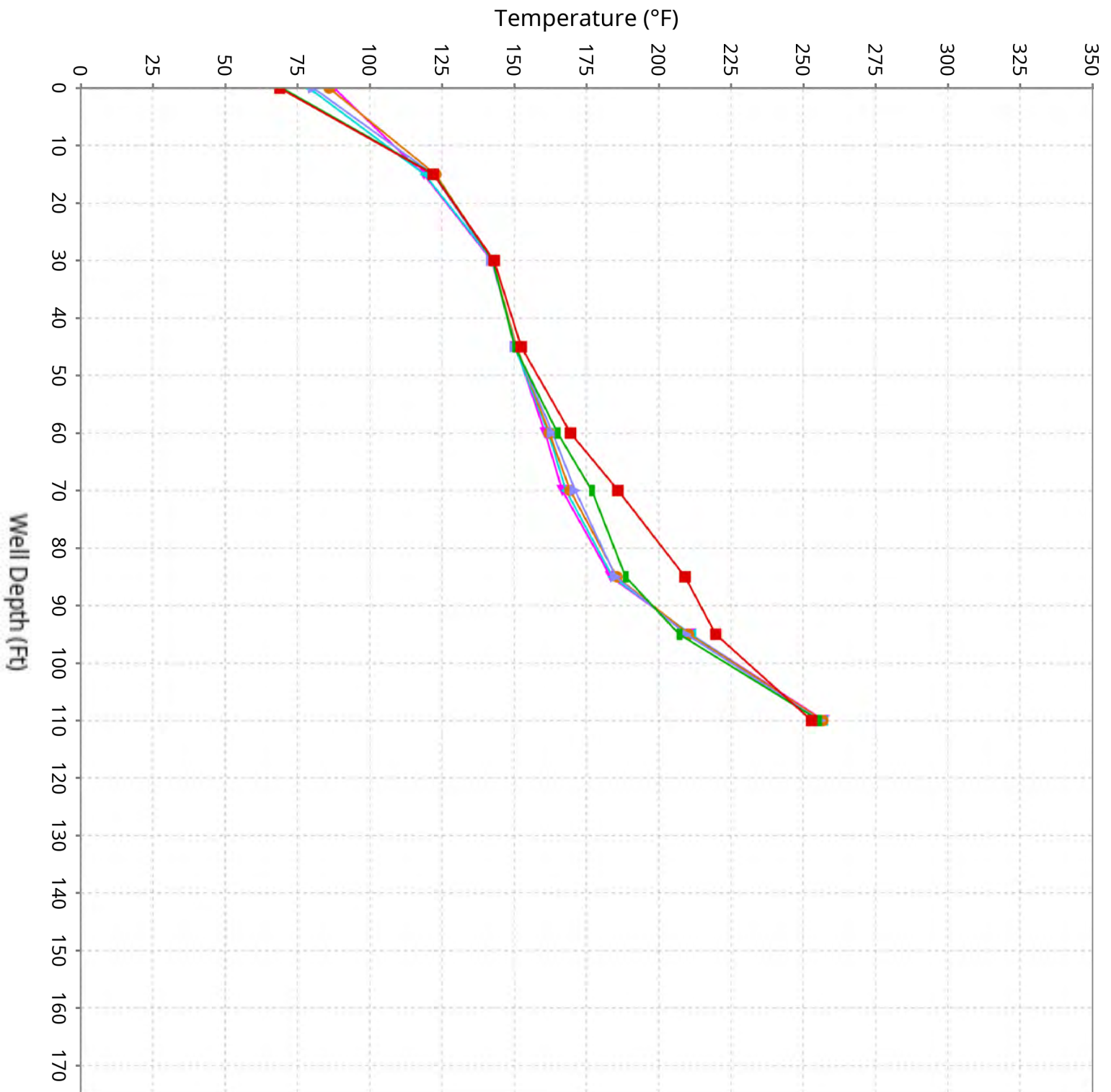
Vertical Temperature Profiles from Temperature Probes at Chiquita Landfill for TP-20

Maximum data for 12/25/2025 to 2/4/2026



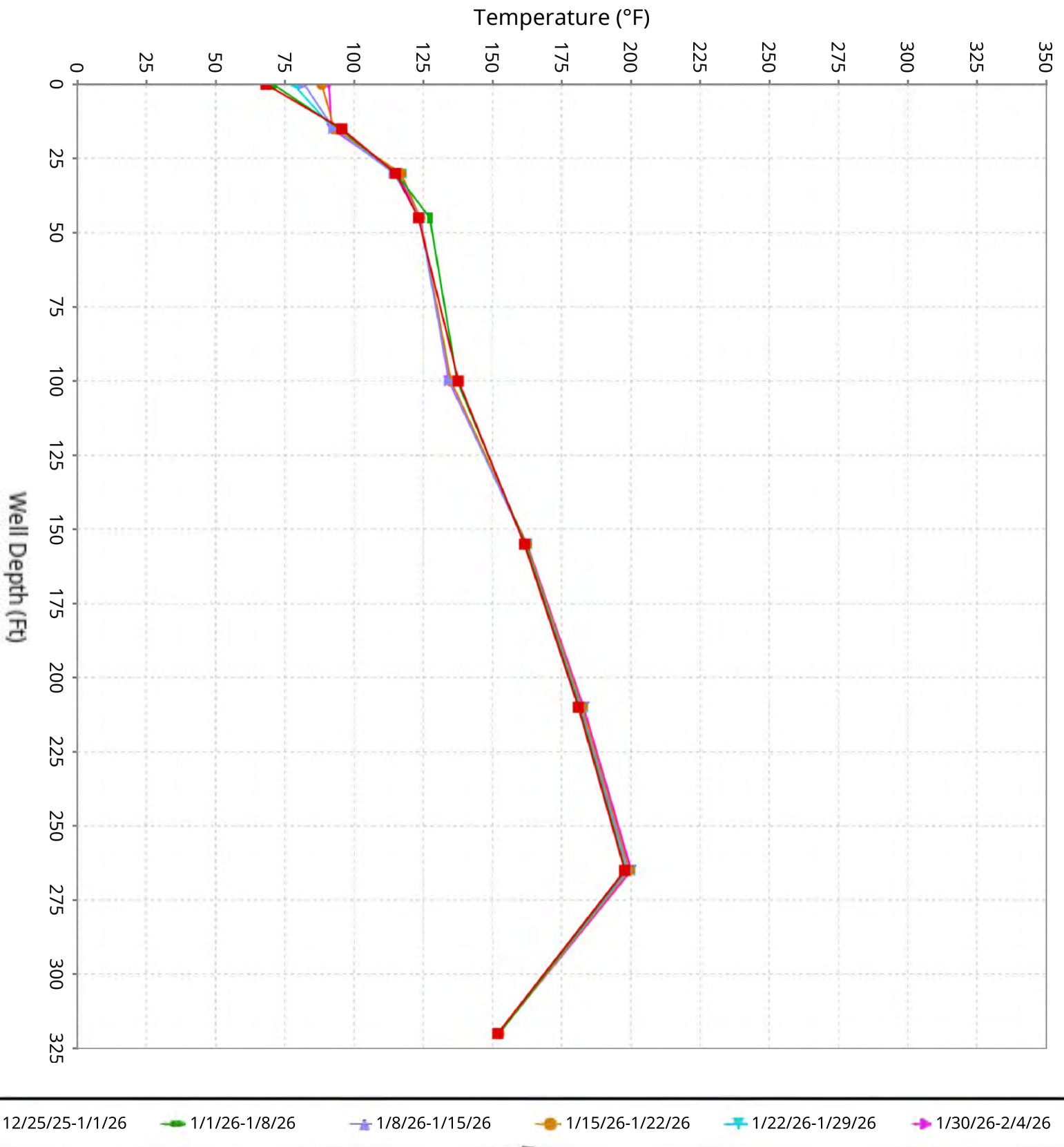
Vertical Temperature Profiles from Temperature Probes at Chiquita Landfill for TP-21

Maximum data for 12/25/2025 to 2/4/2026



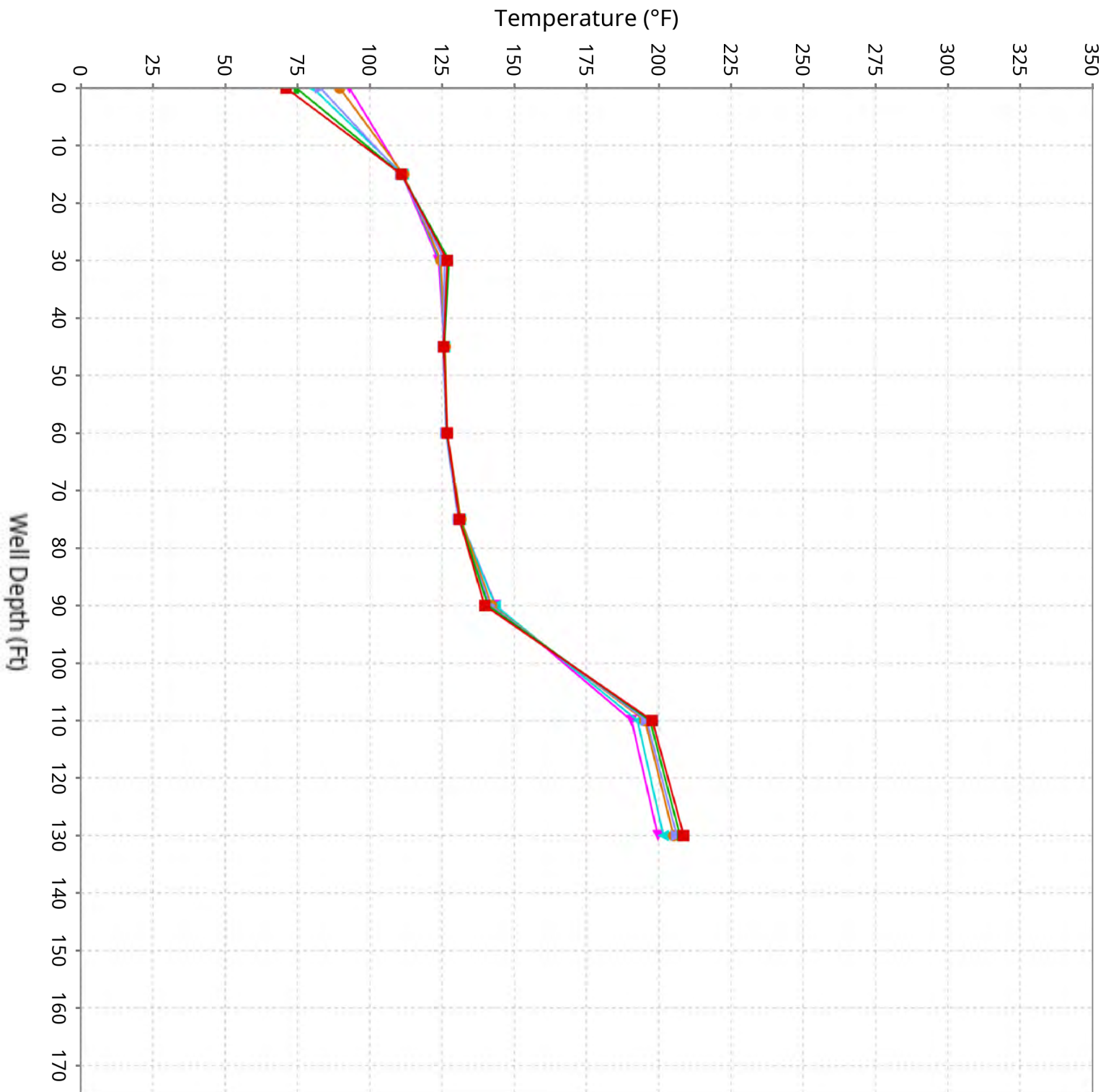
Vertical Temperature Profiles from Temperature Probes at Chiquita Landfill for TP-24

Maximum data for 12/25/2025 to 2/4/2026



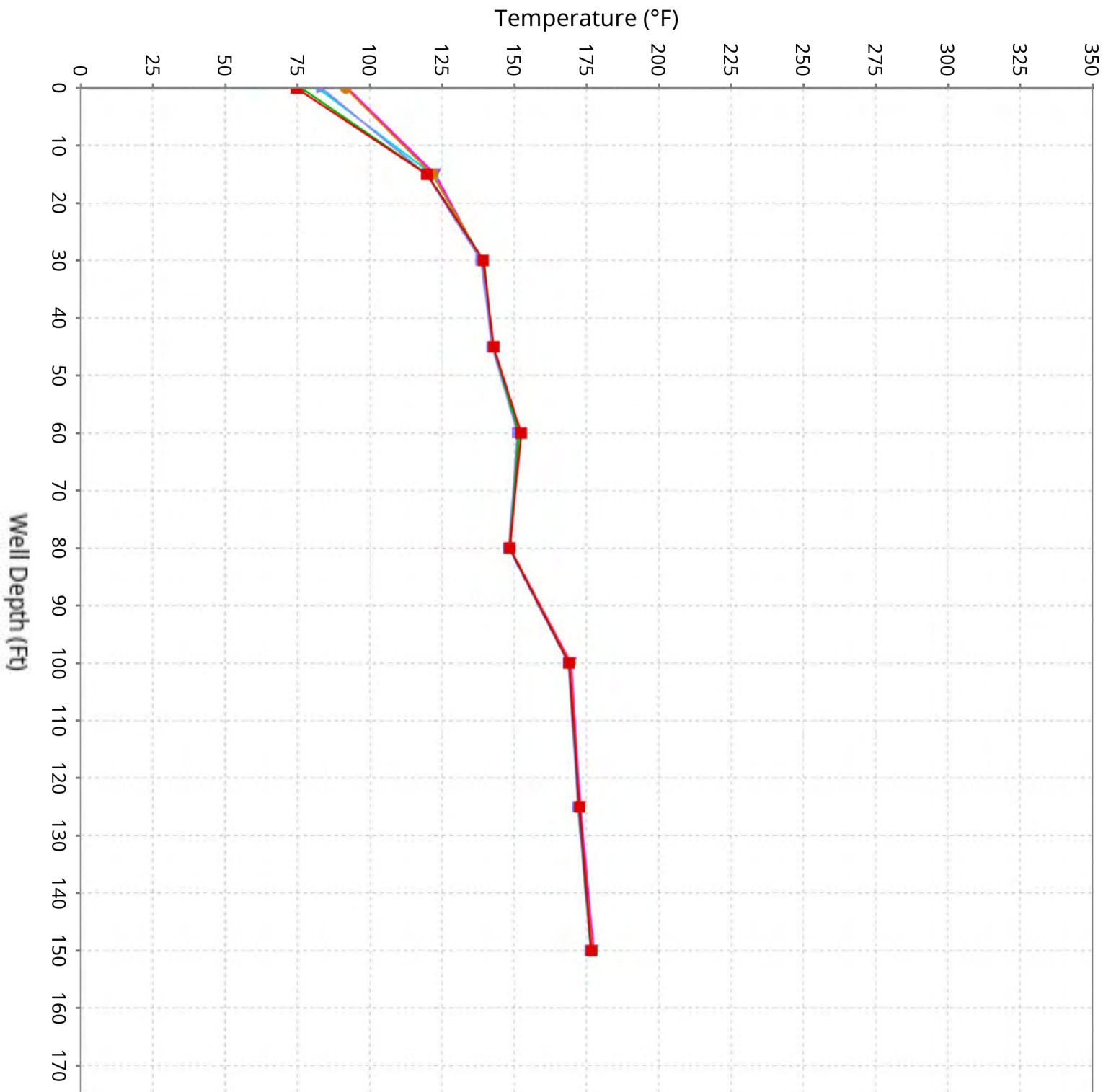
Vertical Temperature Profiles from Temperature Probes at Chiquita Landfill for TP-25

Maximum data for 12/25/2025 to 2/4/2026



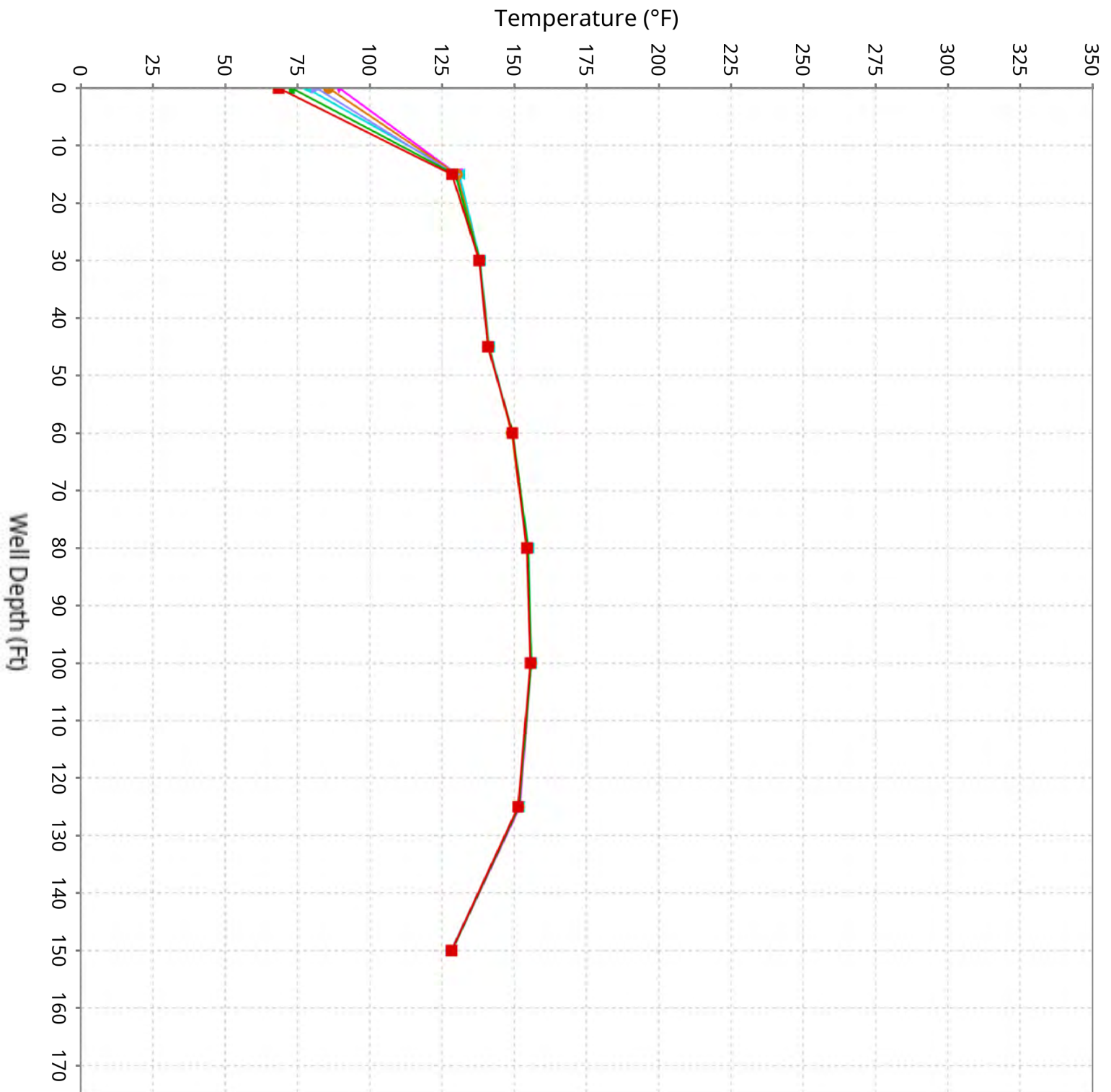
Vertical Temperature Profiles from Temperature Probes at Chiquita Landfill for TP-26

Maximum data for 12/25/2025 to 2/4/2026



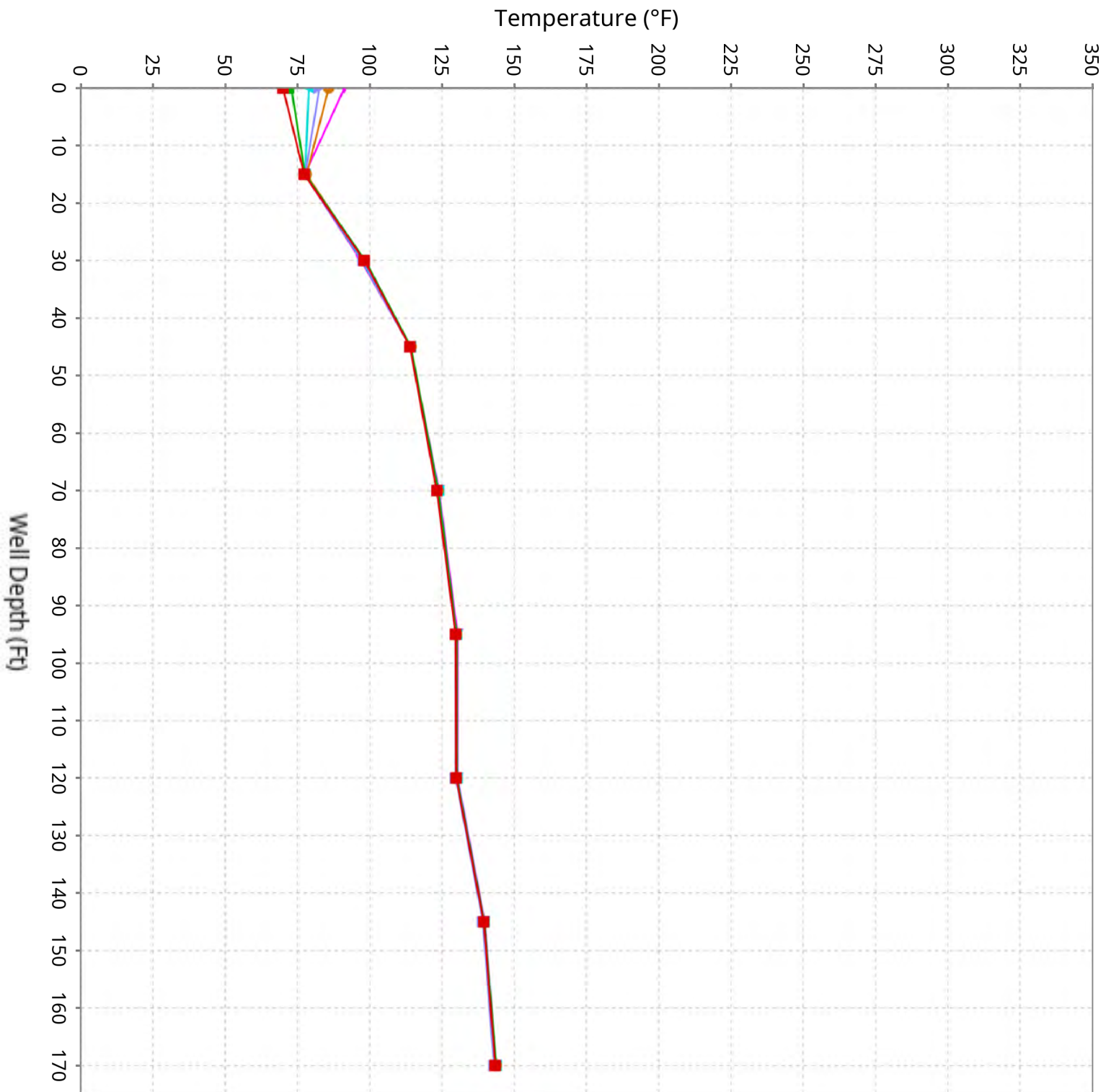
Vertical Temperature Profiles from Temperature Probes at Chiquita Landfill for TP-27

Maximum data for 12/25/2025 to 2/4/2026



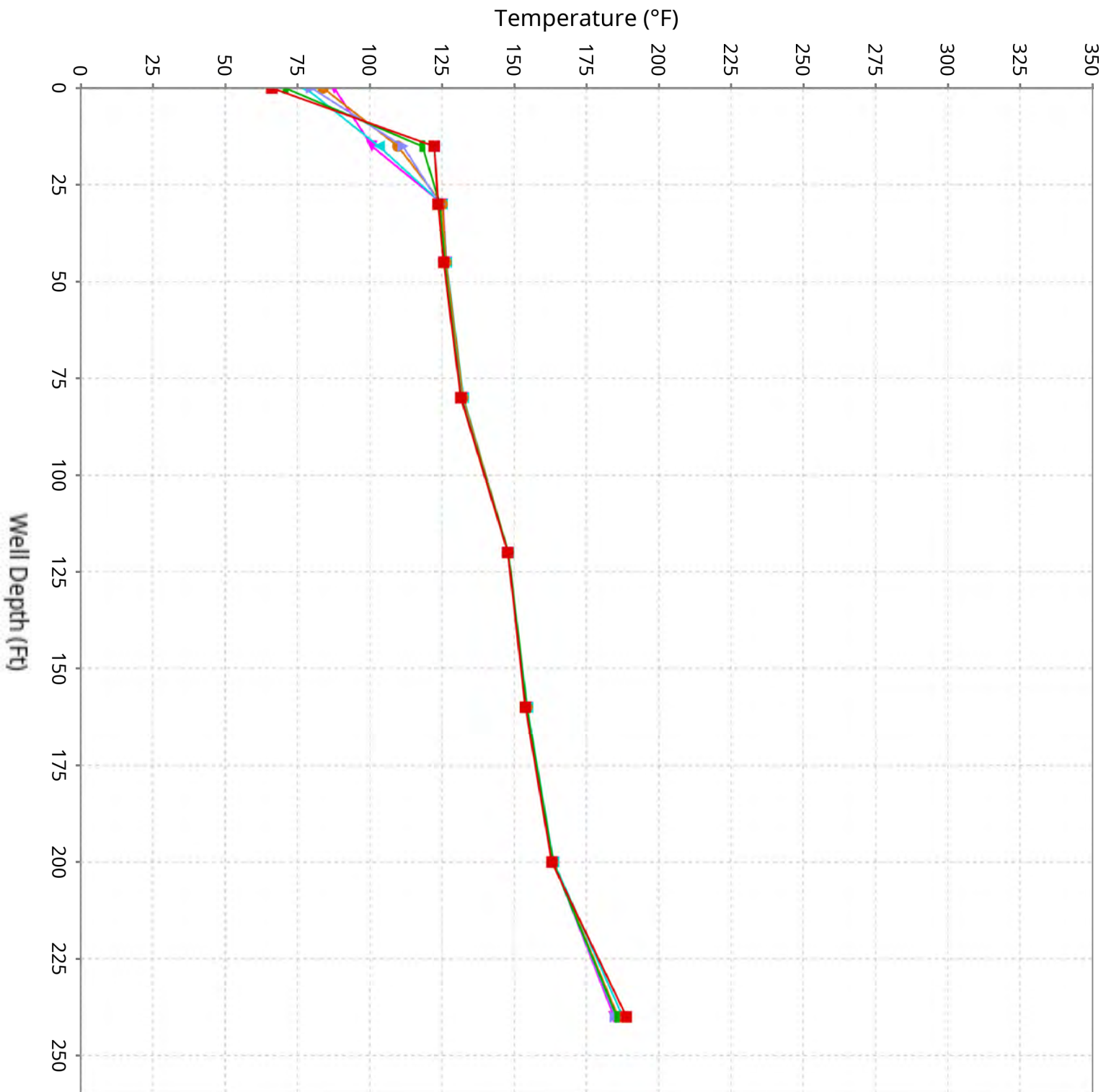
Vertical Temperature Profiles from Temperature Probes at Chiquita Landfill for TP-28

Maximum data for 12/25/2025 to 2/4/2026



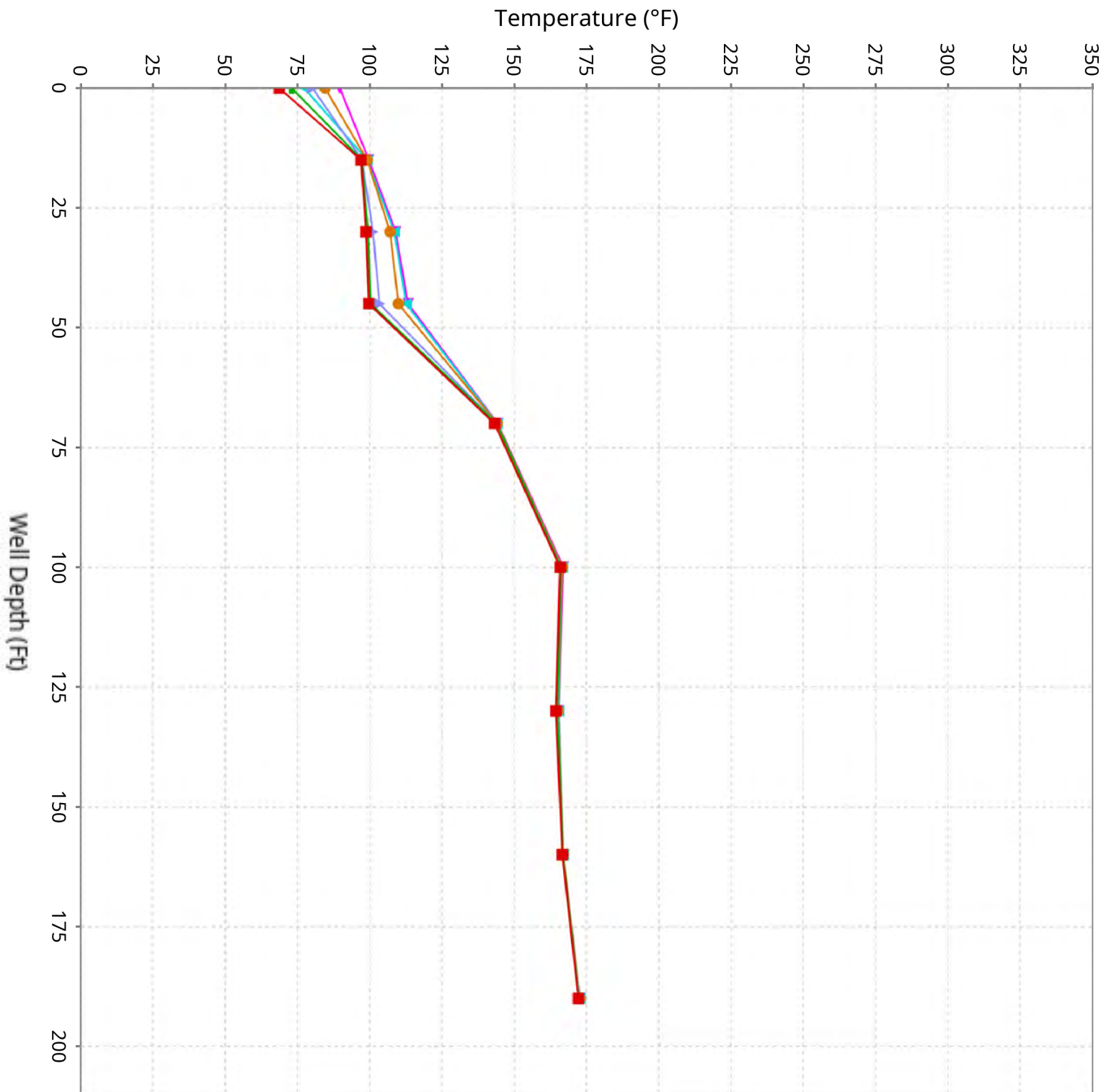
Vertical Temperature Profiles from Temperature Probes at Chiquita Landfill for TP-29

Maximum data for 12/25/2025 to 2/4/2026



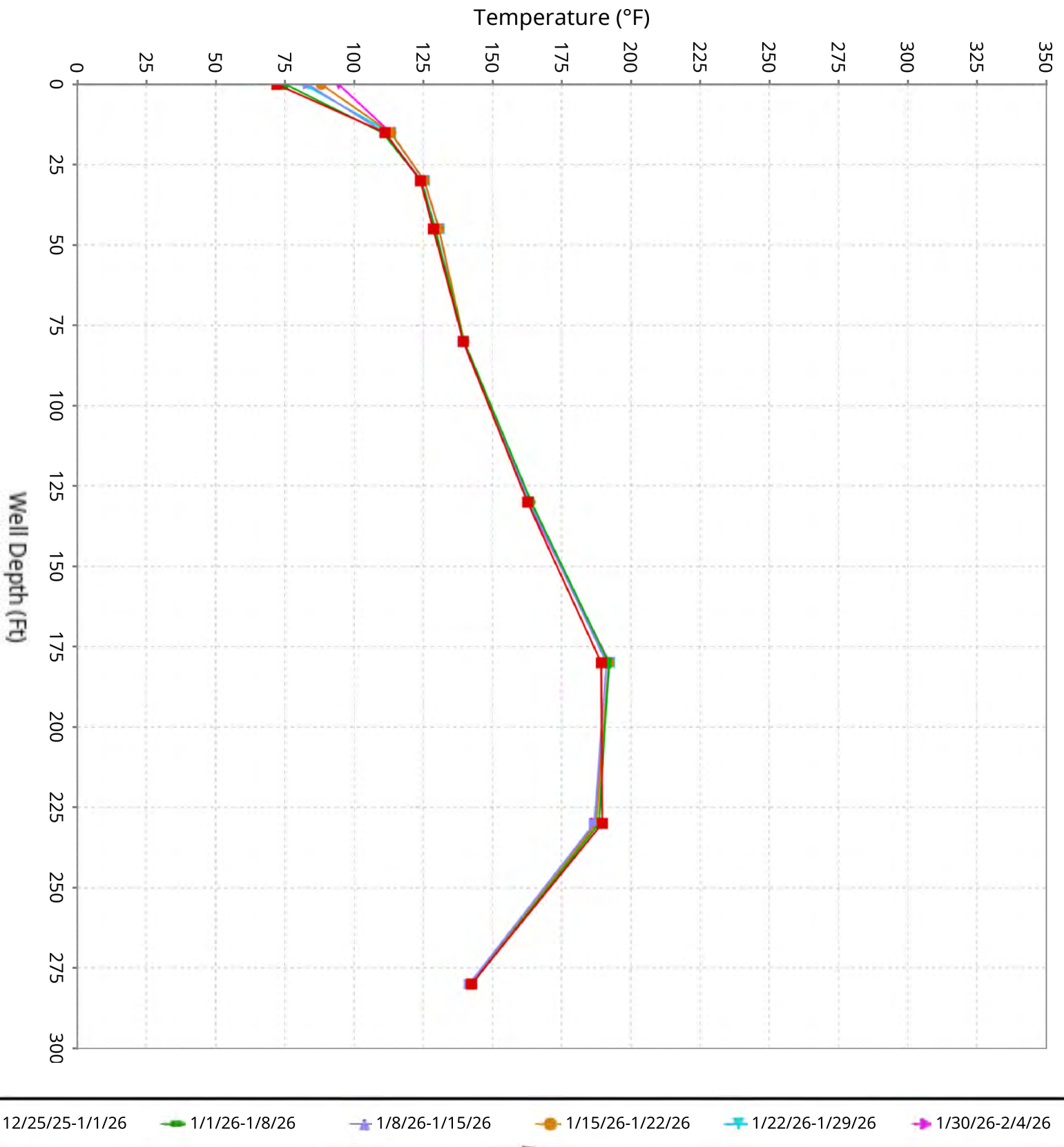
Vertical Temperature Profiles from Temperature Probes at Chiquita Landfill for TP-30

Maximum data for 12/25/2025 to 2/4/2026



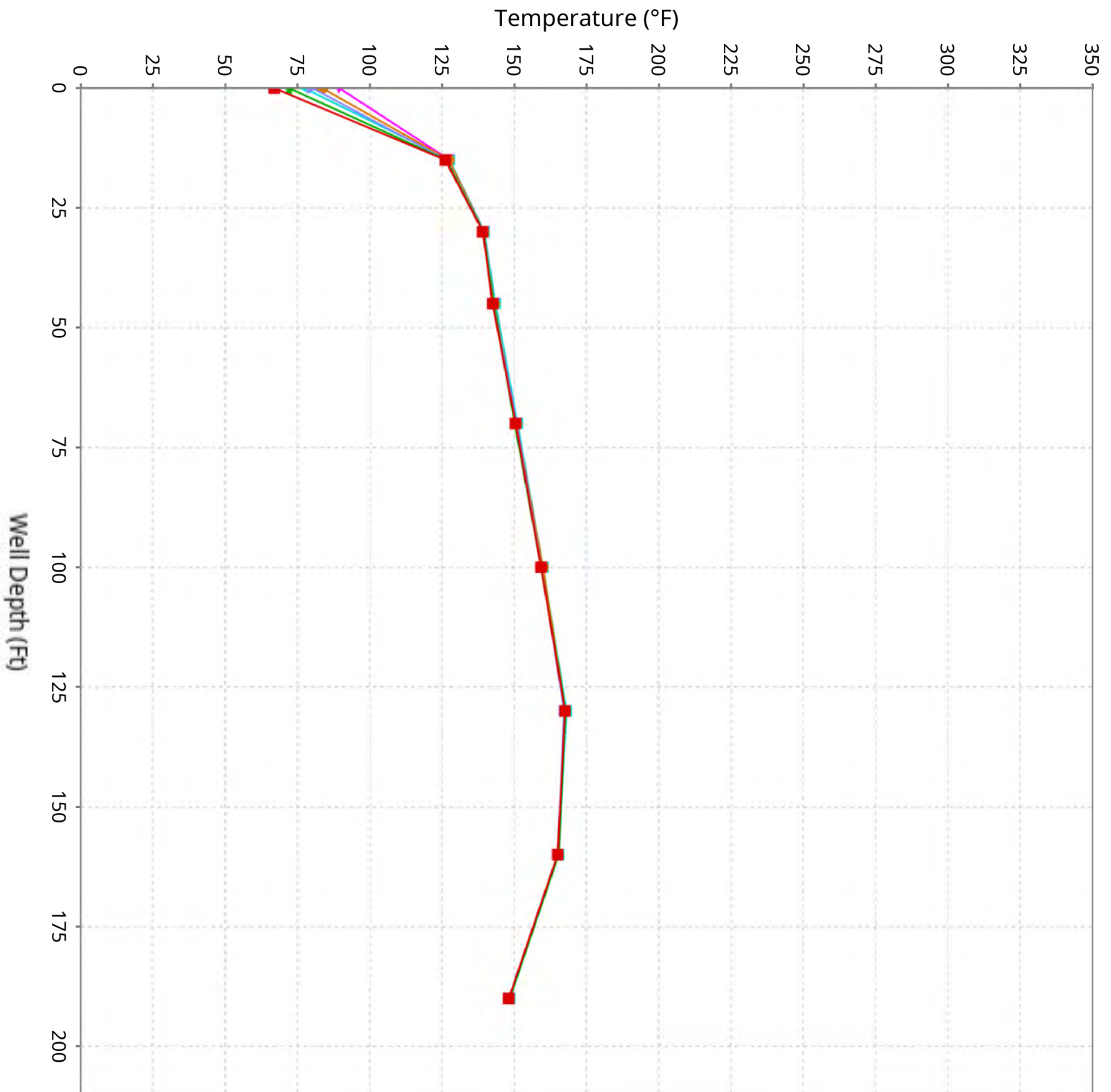
Vertical Temperature Profiles from Temperature Probes at Chiquita Landfill for TP-31

Maximum data for 12/25/2025 to 2/4/2026



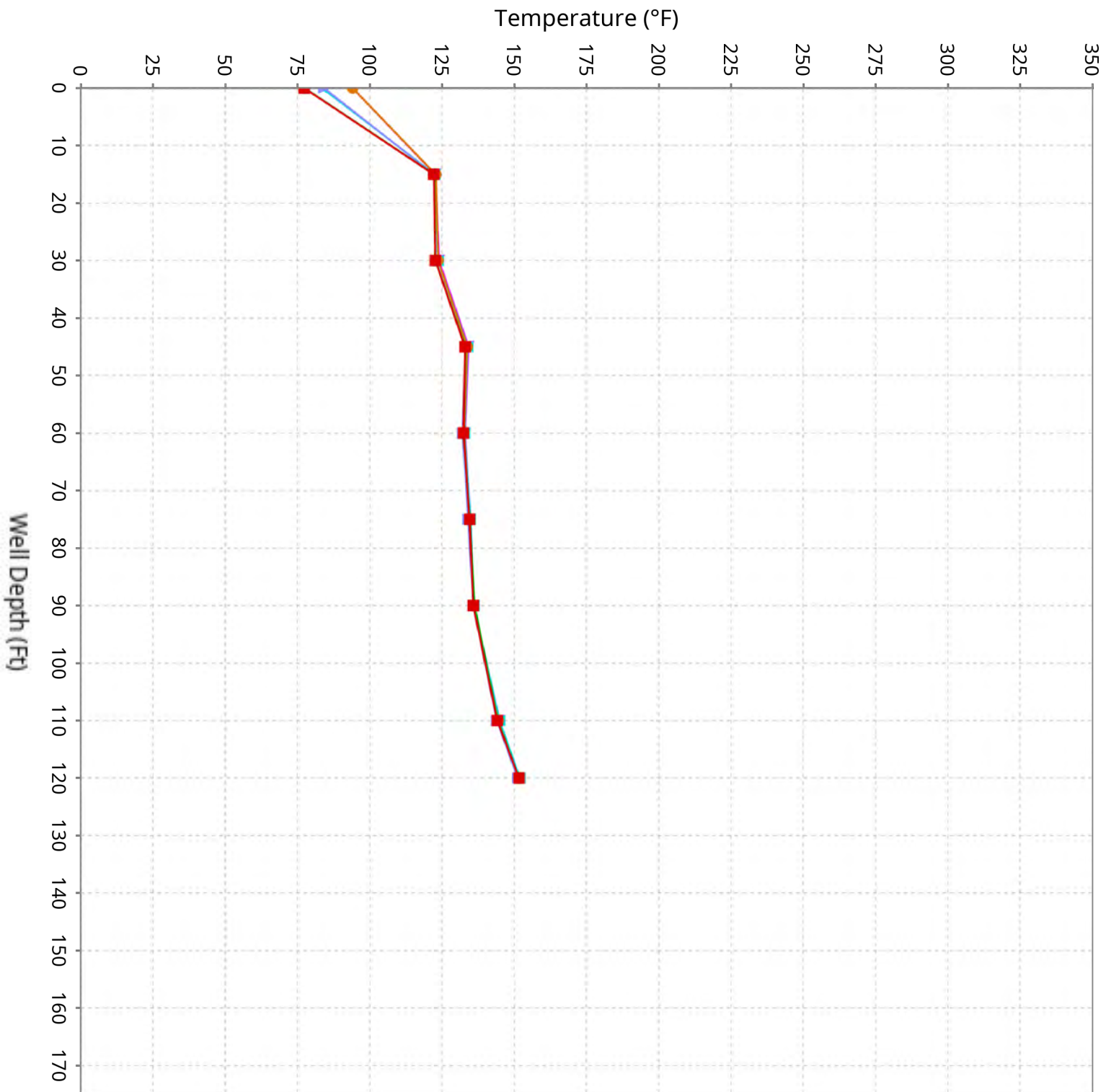
Vertical Temperature Profiles from Temperature Probes at Chiquita Landfill for TP-32

Maximum data for 12/25/2025 to 2/4/2026



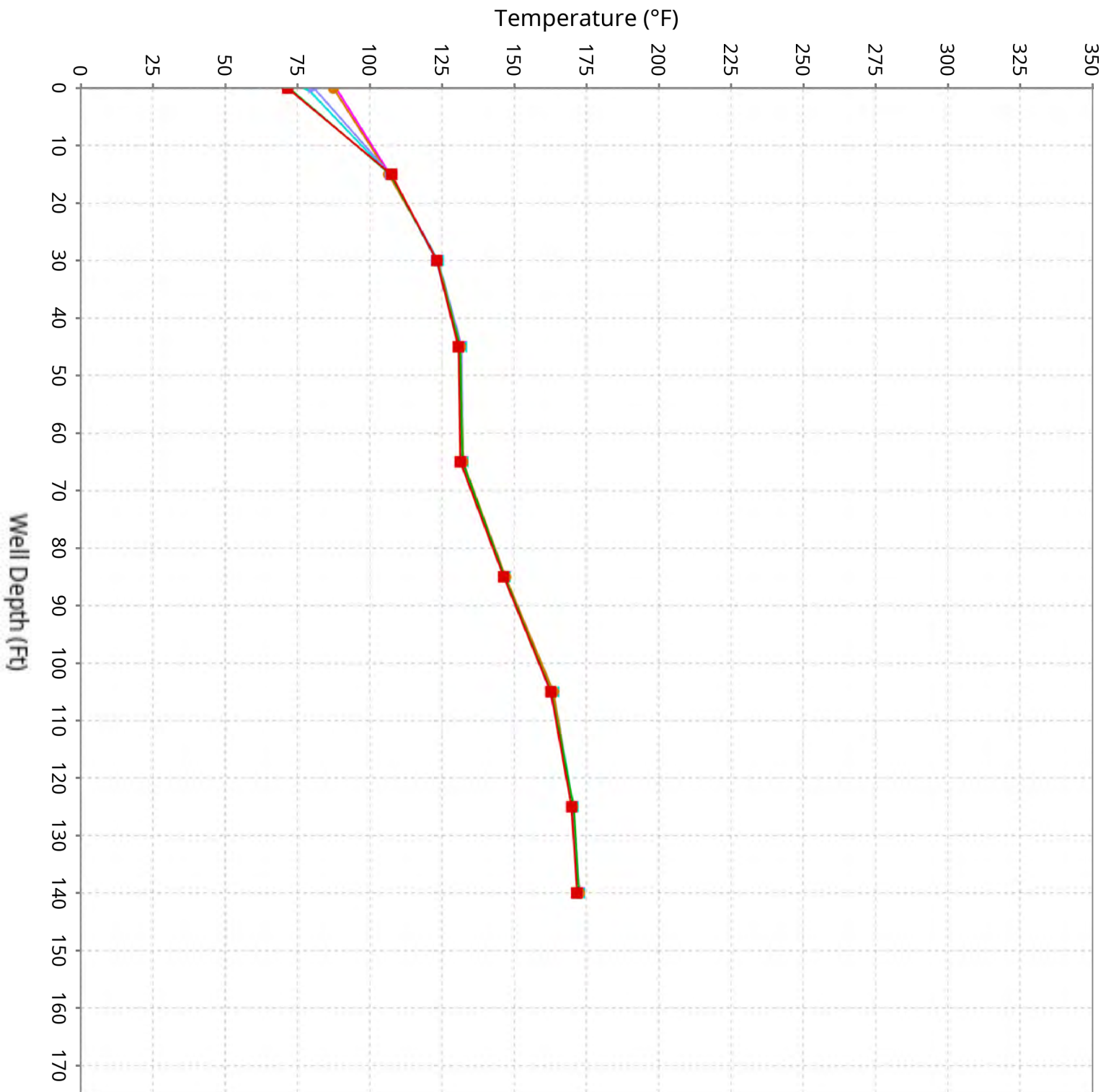
Vertical Temperature Profiles from Temperature Probes at Chiquita Landfill for TP-34

Maximum data for 12/25/2025 to 2/4/2026



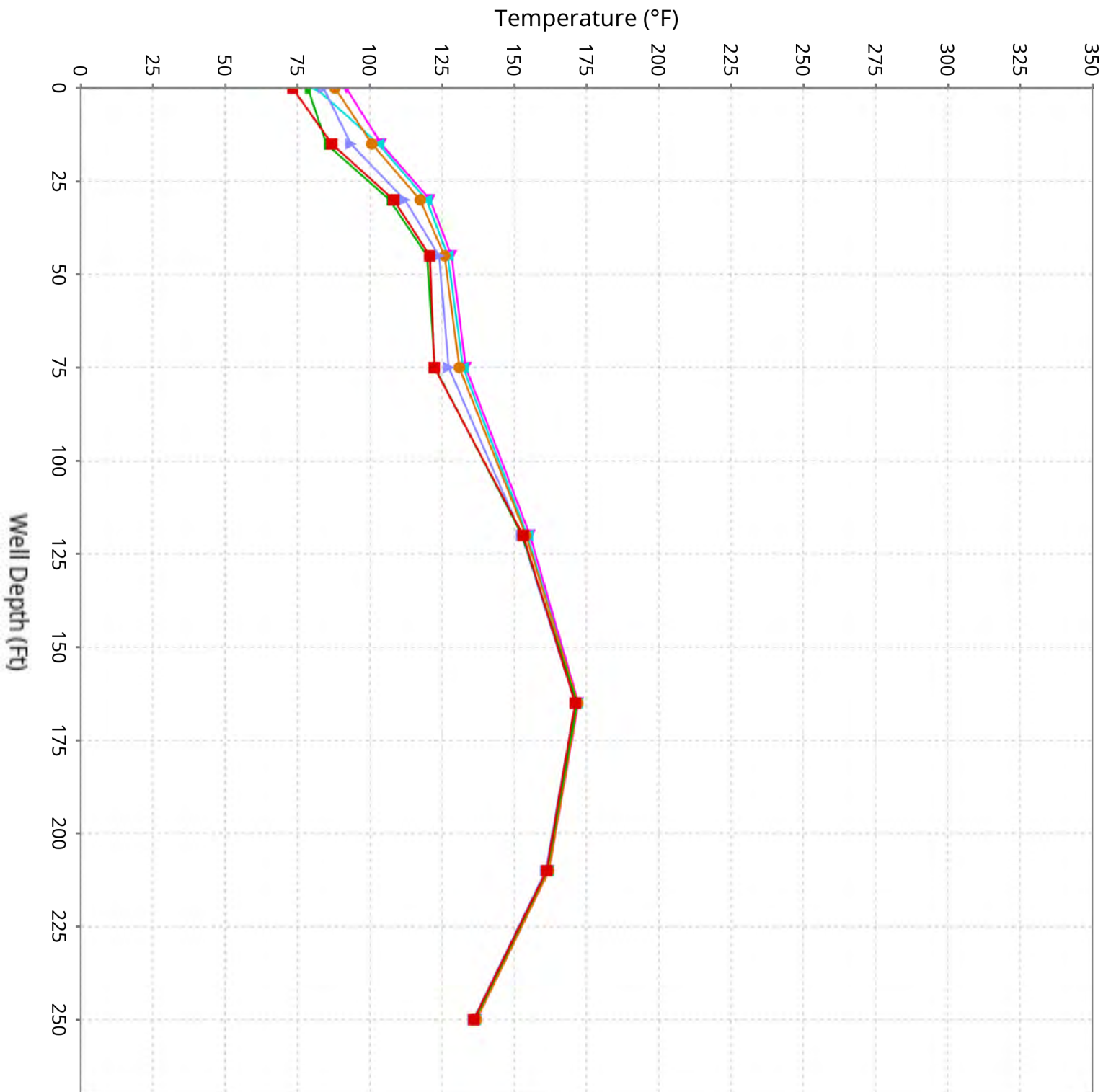
Vertical Temperature Profiles from Temperature Probes at Chiquita Landfill for TP-35

Maximum data for 12/25/2025 to 2/4/2026



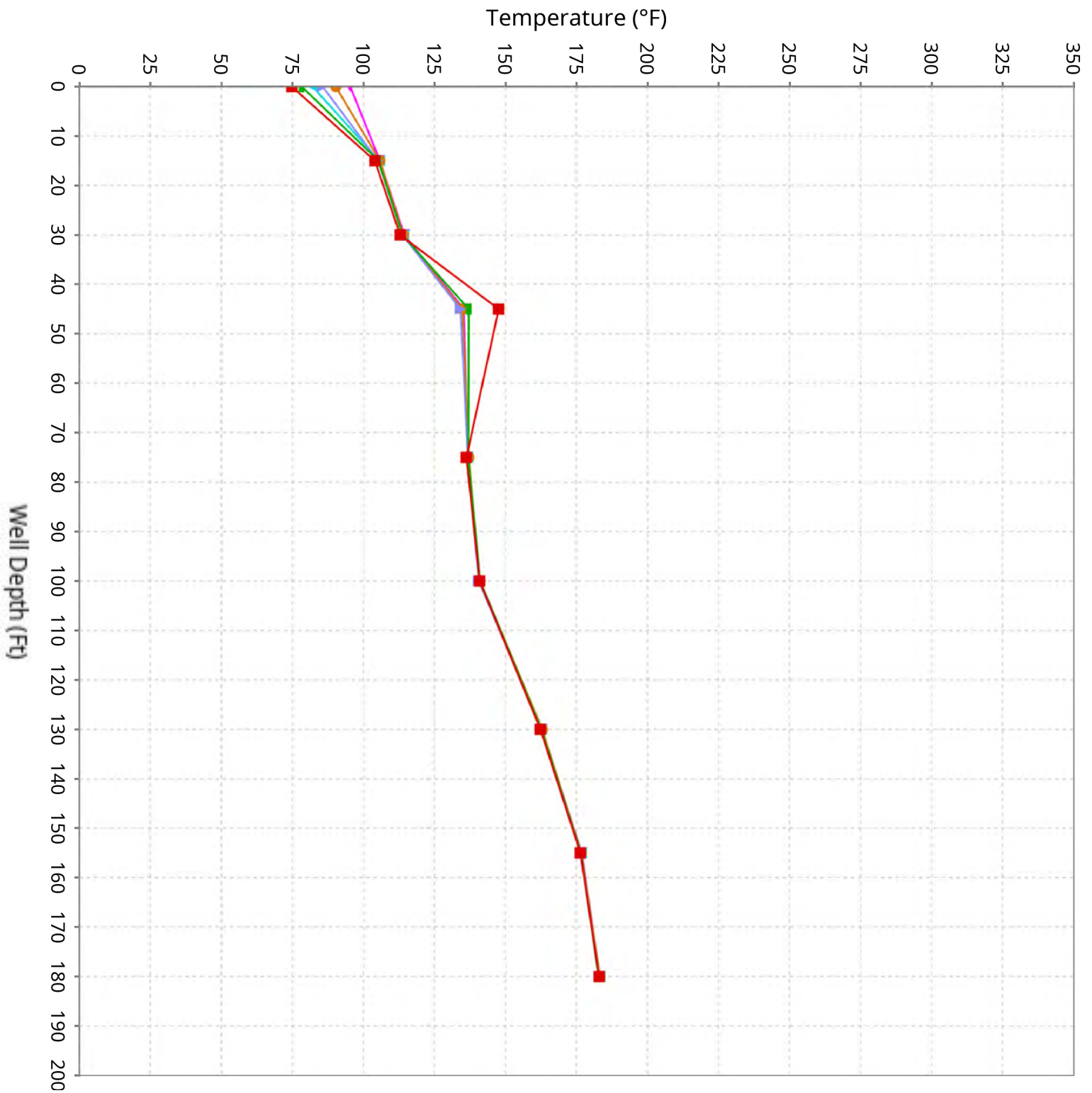
Vertical Temperature Profiles from Temperature Probes at Chiquita Landfill for TP-36

Maximum data for 12/25/2025 to 2/4/2026



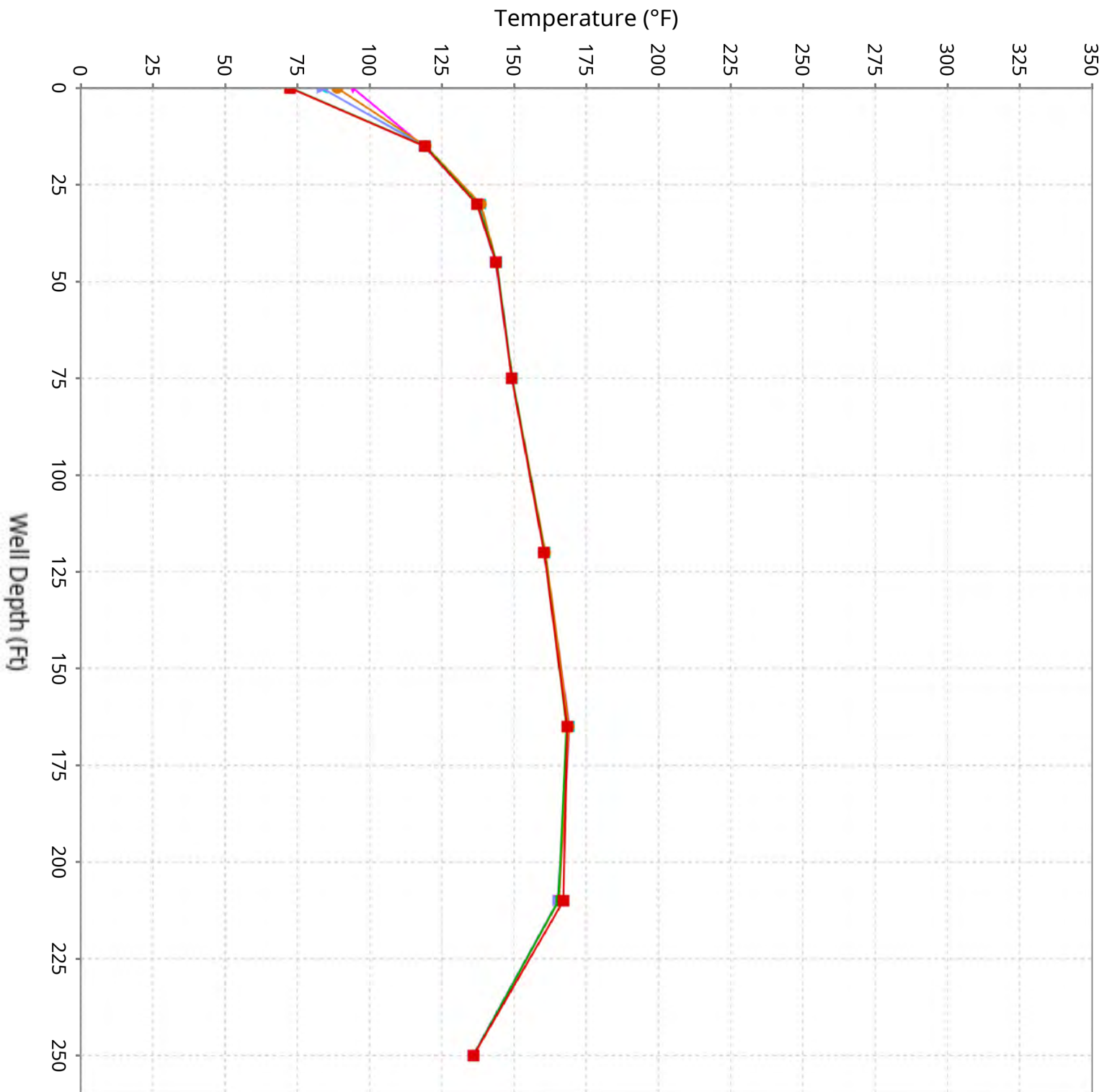
Vertical Temperature Profiles from Temperature Probes at Chiquita Landfill for TP-37

Maximum data for 12/25/2025 to 2/4/2026



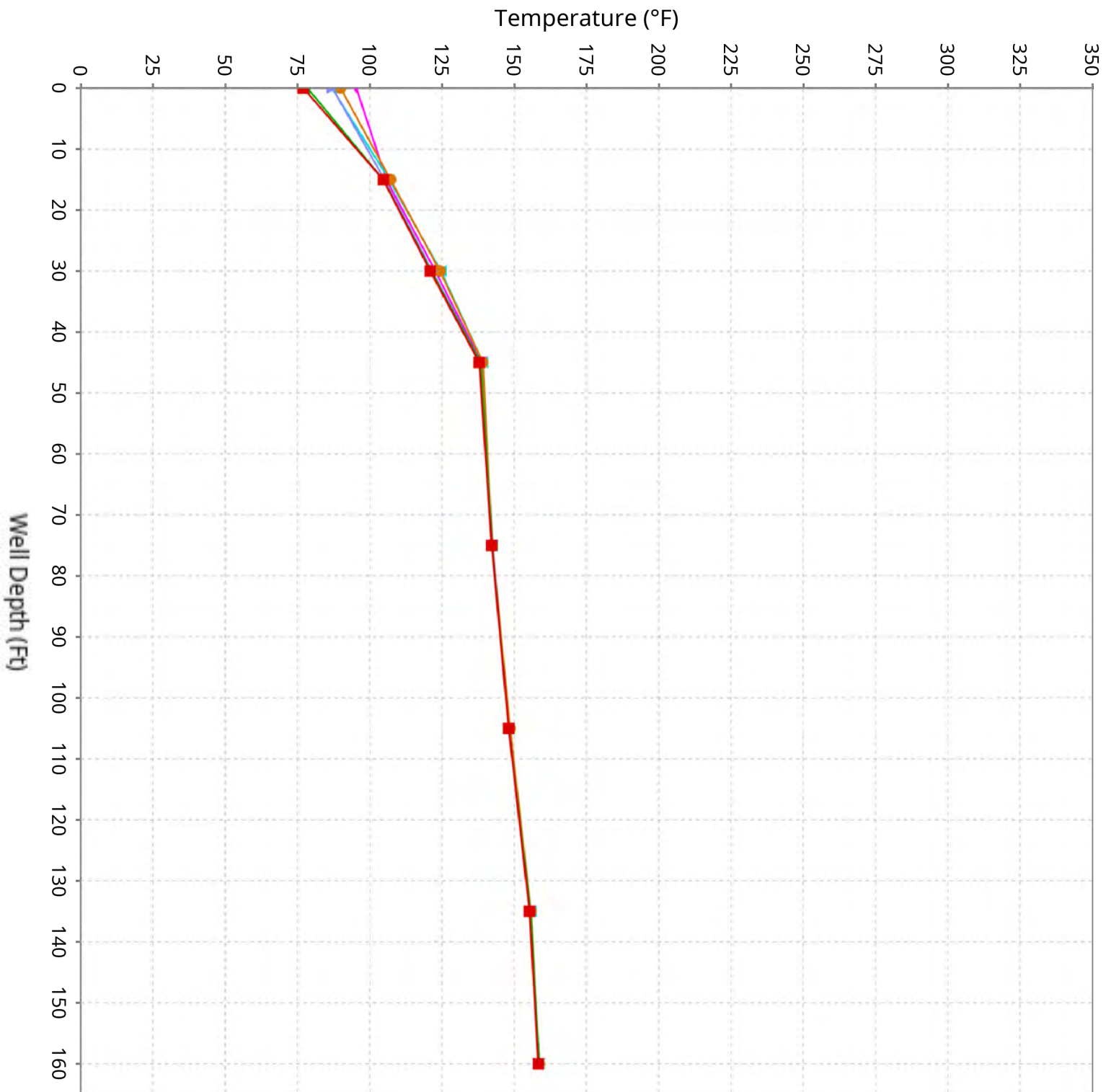
Vertical Temperature Profiles from Temperature Probes at Chiquita Landfill for TP-38

Maximum data for 12/25/2025 to 2/4/2026



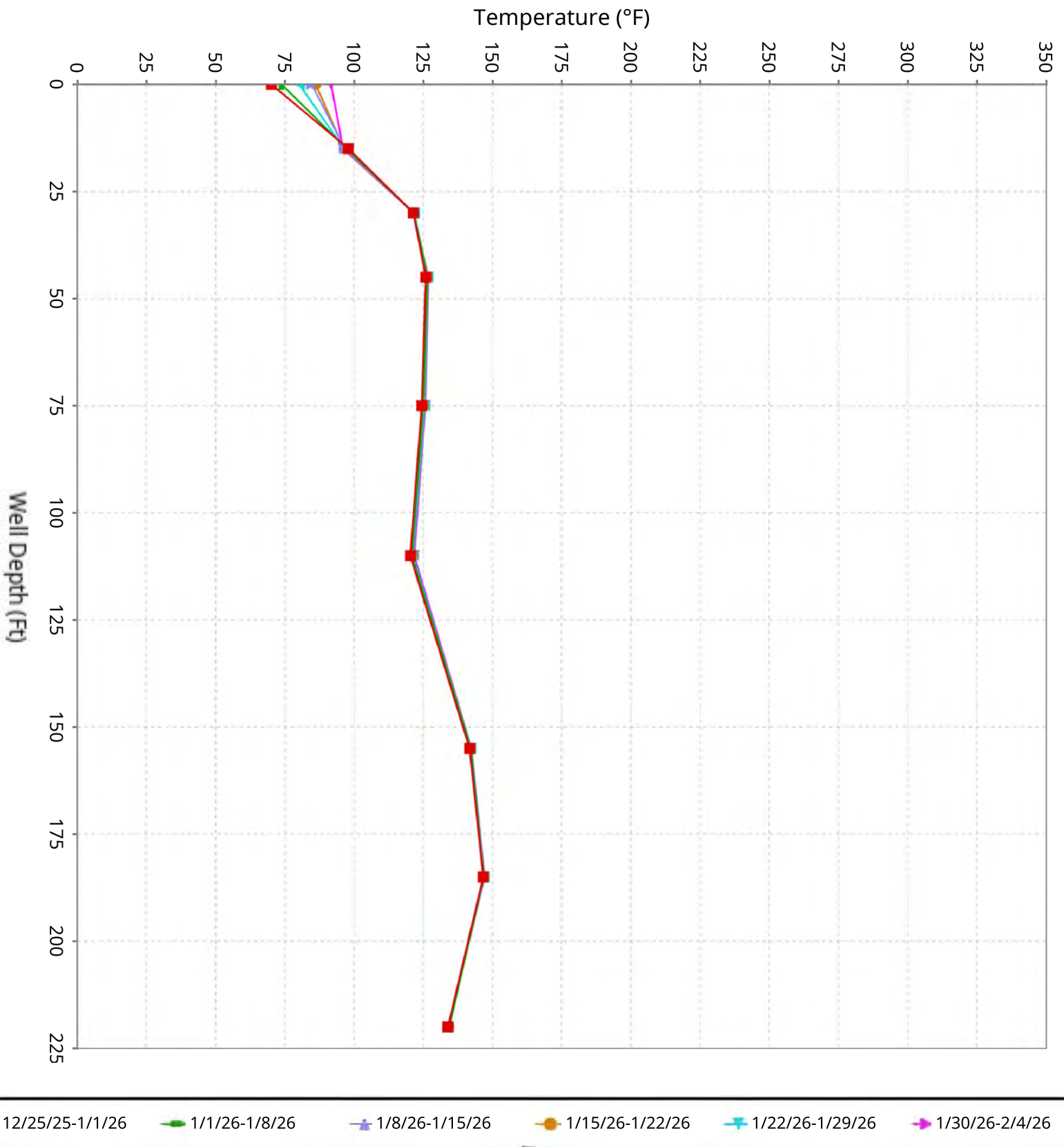
Vertical Temperature Profiles from Temperature Probes at Chiquita Landfill for TP-39

Maximum data for 12/25/2025 to 2/4/2026

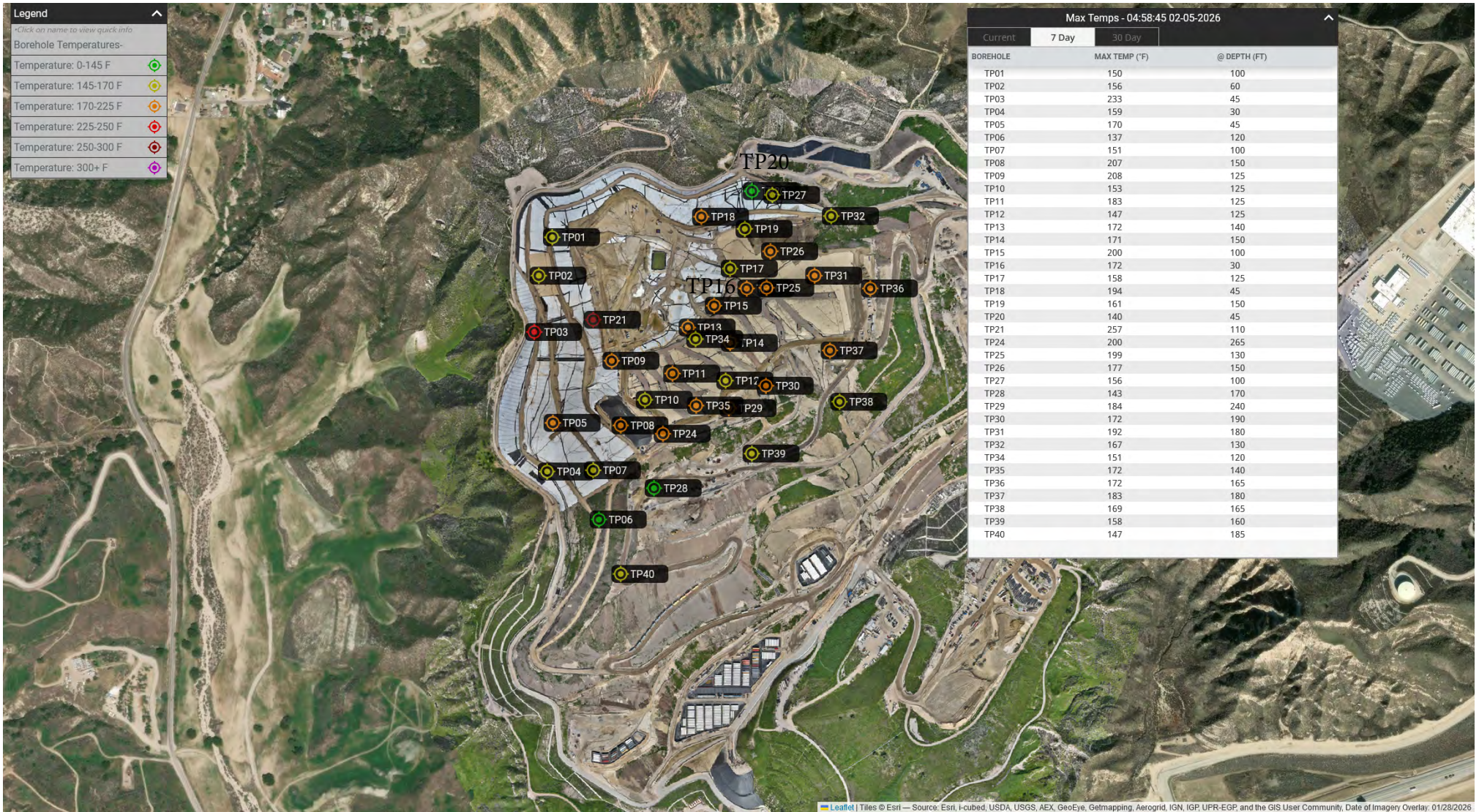


Vertical Temperature Profiles from Temperature Probes at Chiquita Landfill for TP-40

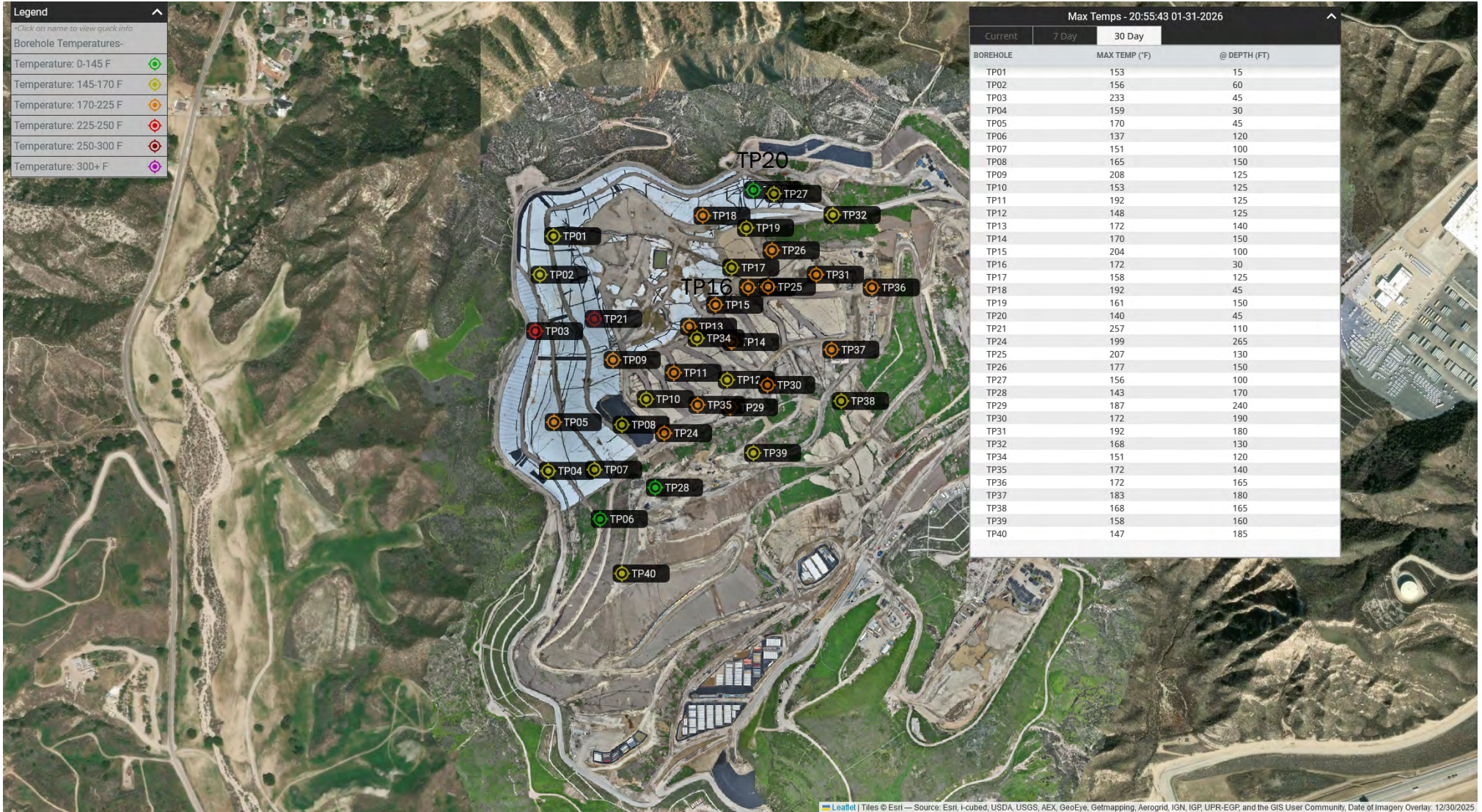
Maximum data for 12/25/2025 to 2/4/2026



Maximum Vertical Temperature Map from Temperature Probes at Chiquita Landfill

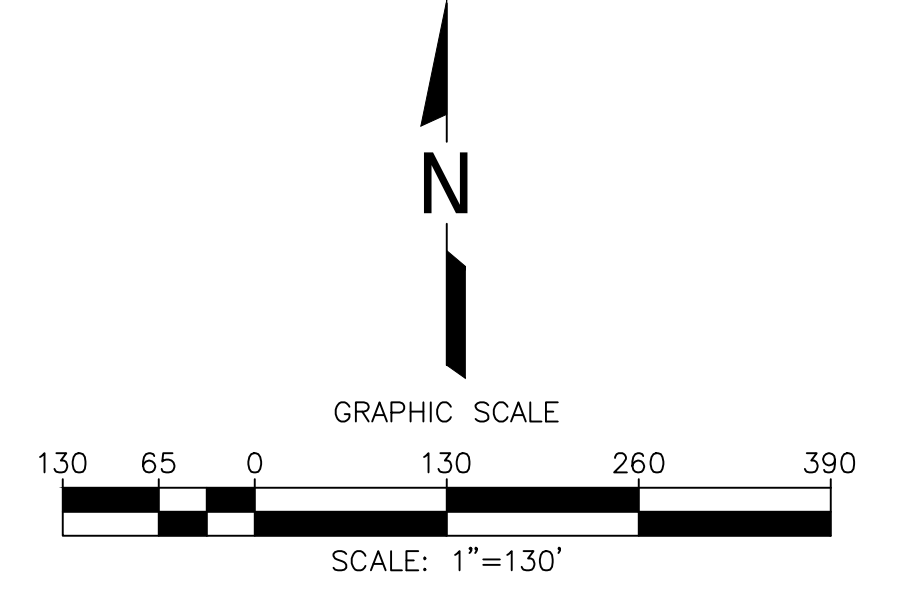
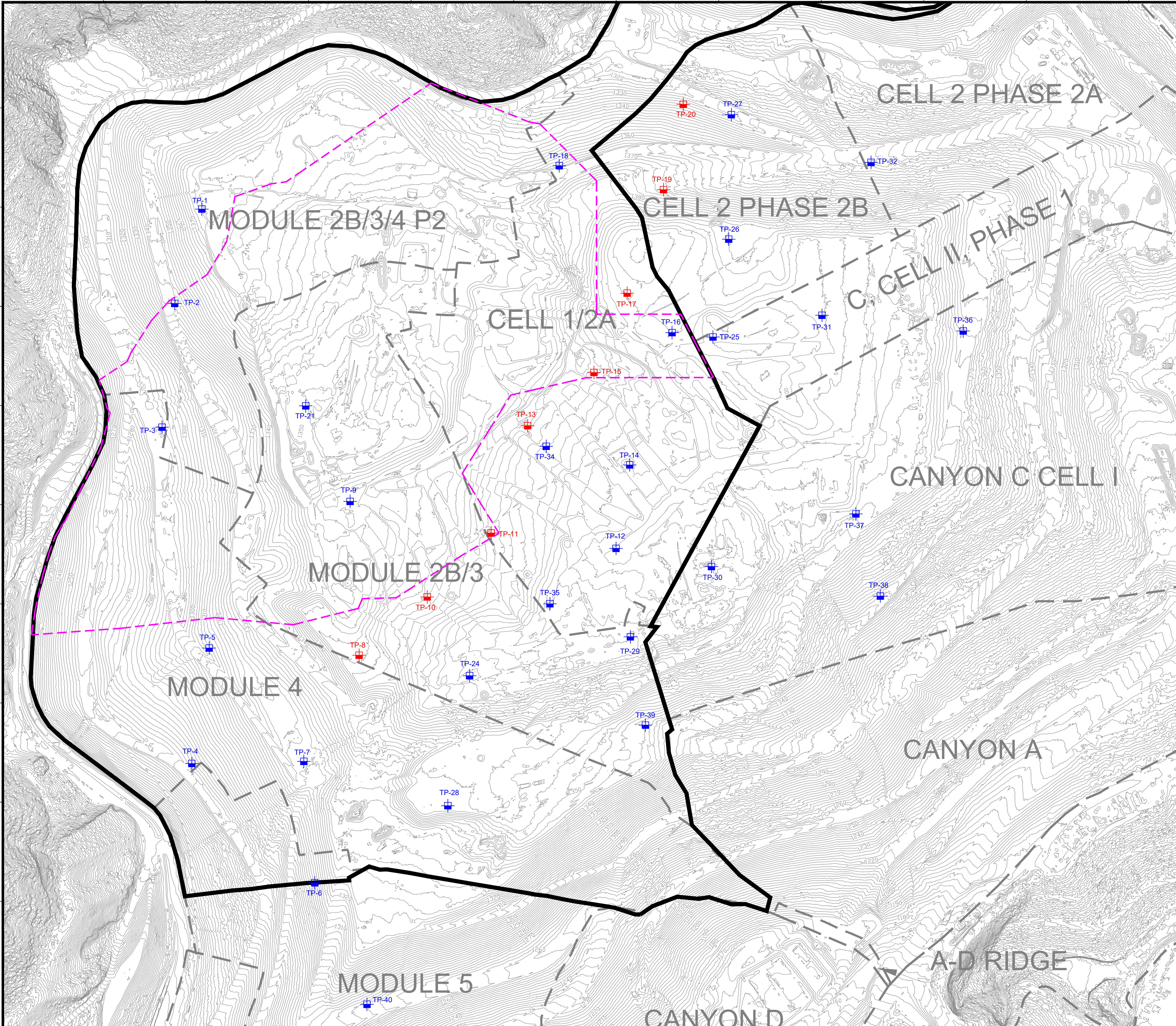


Thirty Day Maximum Vertical Temperature Map from Temperature Probes at Chiquita



1 2 3 4 5 6 7 8 9 10 11 12 13 14 15

A
B
C
D
E
F
F
G
H
I
J



LEGEND

	EXISTING TOPOGRAPHIC CONTOUR
	EXISTING CELL LIMITS (APPROXIMATE)
	INSTALLED TEMPERATURE PROBES - STANDALONE
	INSTALLED TEMPERATURE PROBES - INSTALLED WITHIN WELL CASING
	REACTION AREA BOUNDARY (APPROXIMATE) - BASED ON DATA REVIEW
	REACTION AREA BOUNDARY - CONDITION 9A

NO.	REVISION	DATE

SHEET TITLE: EXISTING TEMPERATURE PROBE MAP
 PROJECT TITLE: CHIQUITA CANYON LANDFILL
 CASTAIC, CALIFORNIA

CLIENT: CHIQUITA CANYON LANDFILL
 CASTAIC, CALIFORNIA

SCS ENGINEERS
 ENVIRONMENTAL CONSULTANTS
 3840 N. GAY AVE. SUITE 300
 LONG BEACH, CA 90808
 PH: (562) 428-5544
 PROJ. NO: 01204123.41
 DSN. BY: _____
 APP. BY: _____

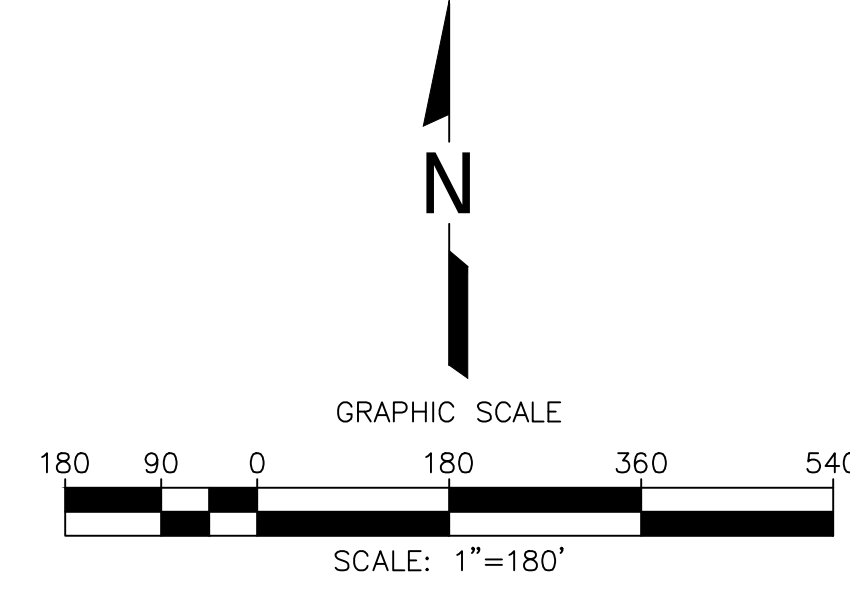
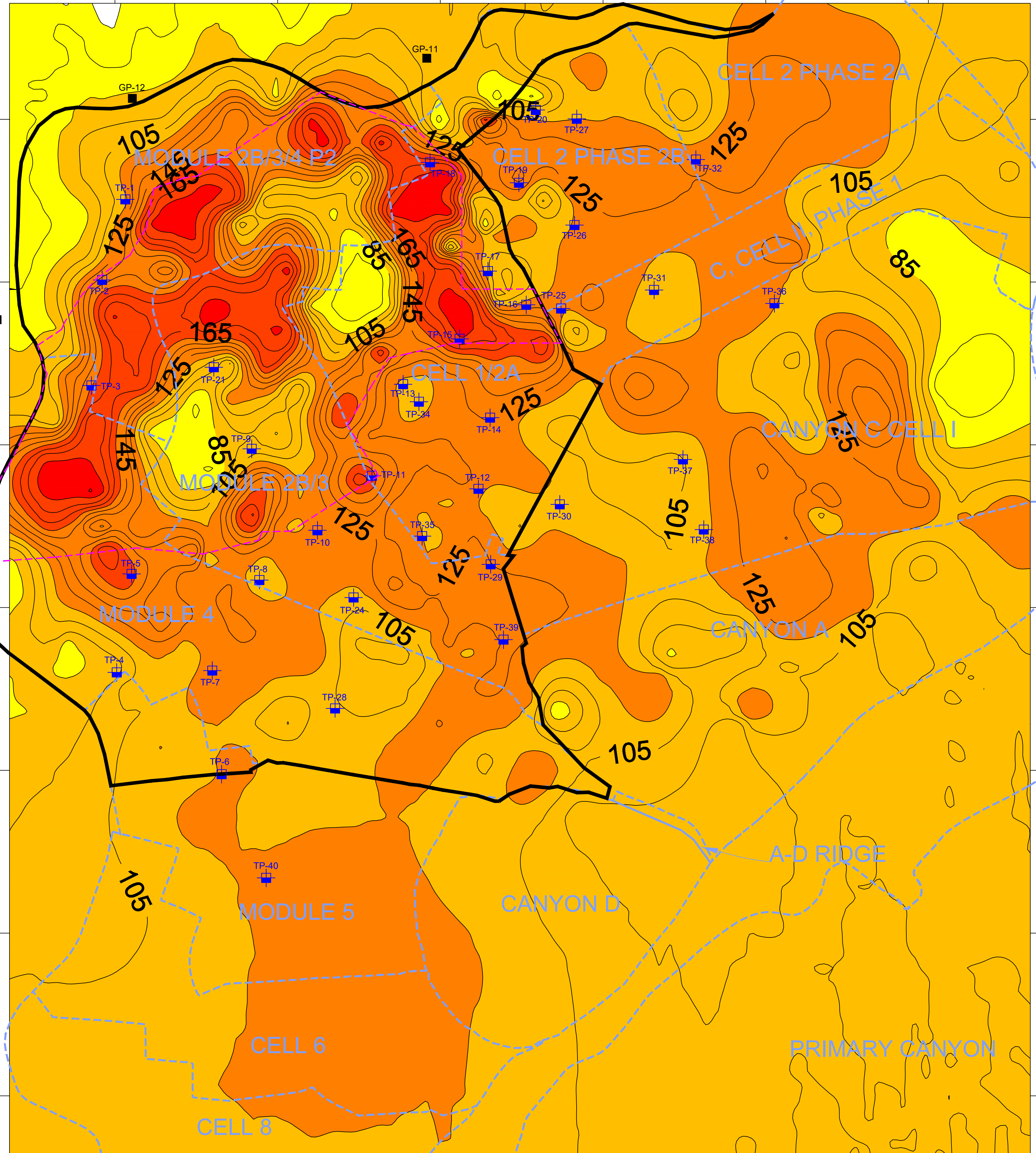
DATE: 02/10/2026
 SCALE: AS SHOWN
 SHEET: 1

GENERAL DRAWING NOTES:
 1. EXISTING TOPOGRAPHIC SURVEY INFORMATION SHOWN WAS PROVIDED BY PROPELLER. AERIAL PHOTOGRAPHY DATED JANUARY 28, 2026.
 2. NORTH ARROW SHOWN HERE IS REFERENCE TO THE CALIFORNIA STATE PLANE ZONE V COORDINATE SYSTEM, NAD 83.

ATTACHMENT C

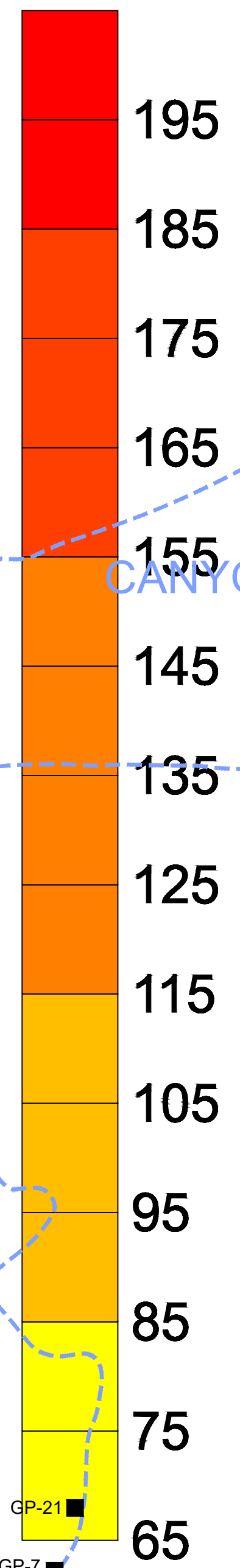
1982000
1981500
1981000
1980500
1980000
1979500
1979000

6365500 6366000 6366500 6367000 6367500 6368000



LEGEND

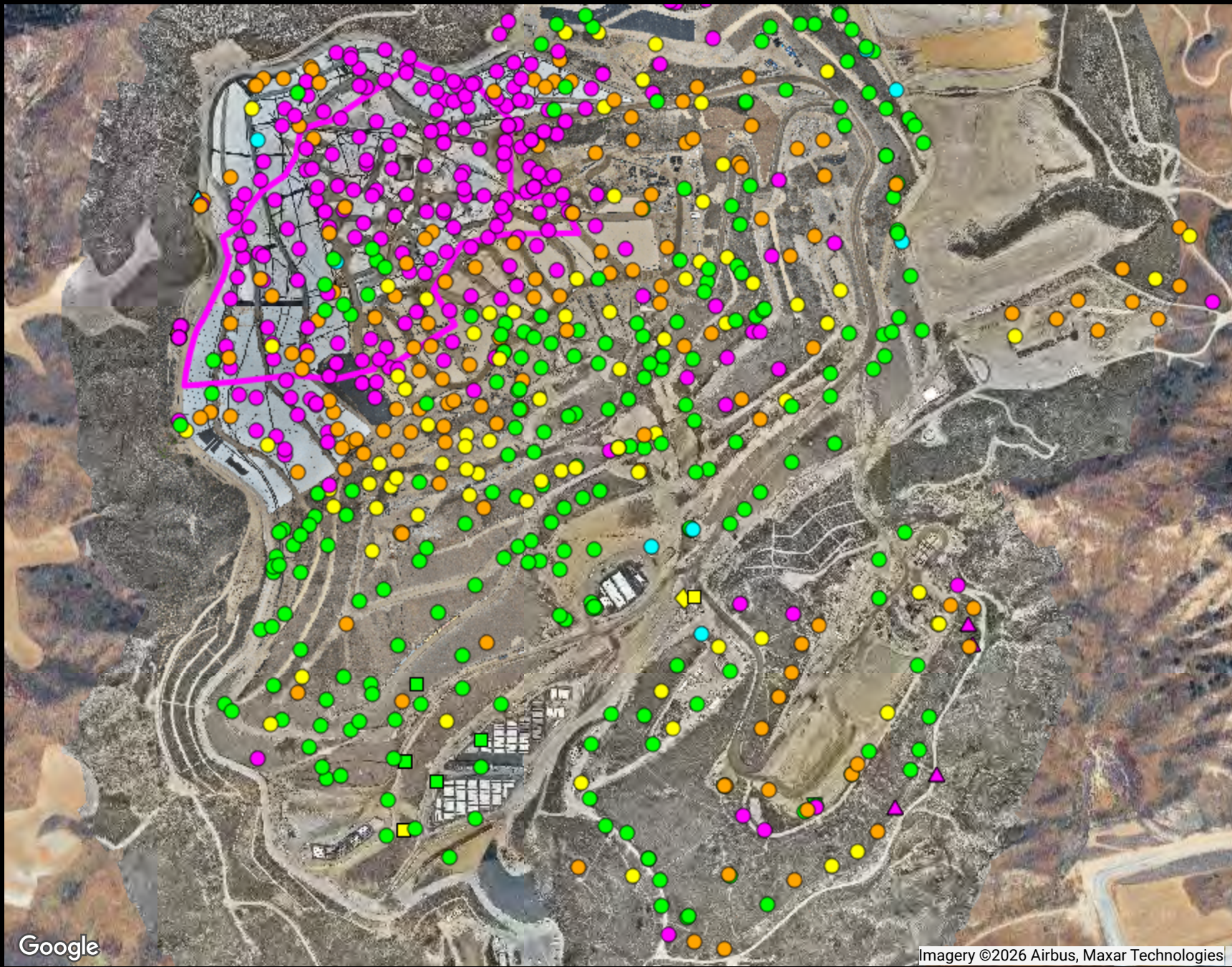
- EXISTING CELL LIMITS (APPROXIMATE)
- REACTION AREA BOUNDARY (APPROXIMATE) - BASED ON DATA REVIEW
- REACTION AREA BOUNDARY - CONDITION 9A
- GP-XX EXISTING PERIMETER MIGRATION PROBE
- + TP-XX EXISTING TEMPERATURE PROBE



GENERAL DRAWING NOTES:
1. NORTH ARROW SHOWN HERE IS REFERENCE TO THE CALIFORNIA STATE PLANE ZONE V COORDINATE SYSTEM, NAD 83.

DATE	
REVISION	
NO.	
SHEET TITLE:	ISOTHERMAL GRADIENT MAP
PROJECT TITLE:	CHIQUITA CANYON LANDFILL CASTAIC, CALIFORNIA
CLIENT:	CHIQUITA CANYON LANDFILL CASTAIC, CALIFORNIA
DATE:	02/10/2026
SCALE:	AS SHOWN
SHEET:	1

Z:\Files\Engineers\Waste_Connections\Chiquita_Canyon_LF\2026_Temp_Probe_Data\Isothermal_Gradient_Maps\01-January_2026\2026_CGL_Isothermal_Map-Jan_2026_V1.0_2026-02-10.dwg, Feb 10, 2026 - 9:58am By: smedina



Ranges Mapped

Range	# Points
>= 0 and < 0.5	295
>= 0.5 and < 0.9	167
>= 0.9 and < 1.1	93
>= 1.1 and < 1.5	253
>= 1.5 and < 101	9

Point Type Legend

- ▽ calibration record
- ◇ flare-engine-ghg
- △ monitoring probe
- sample port
- well

Google

Imagery ©2026 Airbus, Maxar Technologies

ATTACHMENT D

Chiquita Canyon Landfill

Range Map

Parameter: CH4/CO2 Ratio (high range)

Analysis Method: MostRecent

Date Range: 01/01/2026 - 01/31/2026

Map generation date : 02/10/2026





Ranges Mapped

			# Points
■	>= 0	and < 20000	26
■	>= 20000	and < 50000	9
■	>= 50000	and < 100000	15
■	>= 100000	and < 999999	52

The range values noted above are in units of parts per million (ppm). Divide by 10,000 to convert these values to units of percent by volume.

Point Type Legend

- ▽ calibration record
- ◇ flare-engine-ghg
- △ monitoring probe
- sample port
- well

Google

Imagery ©2026 Airbus, Maxar Technologies

ATTACHMENT E

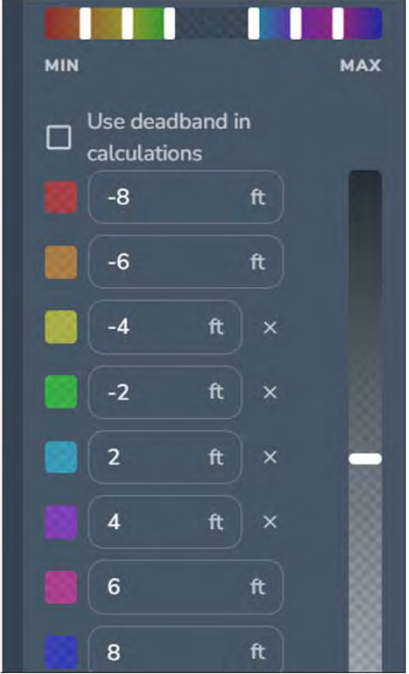
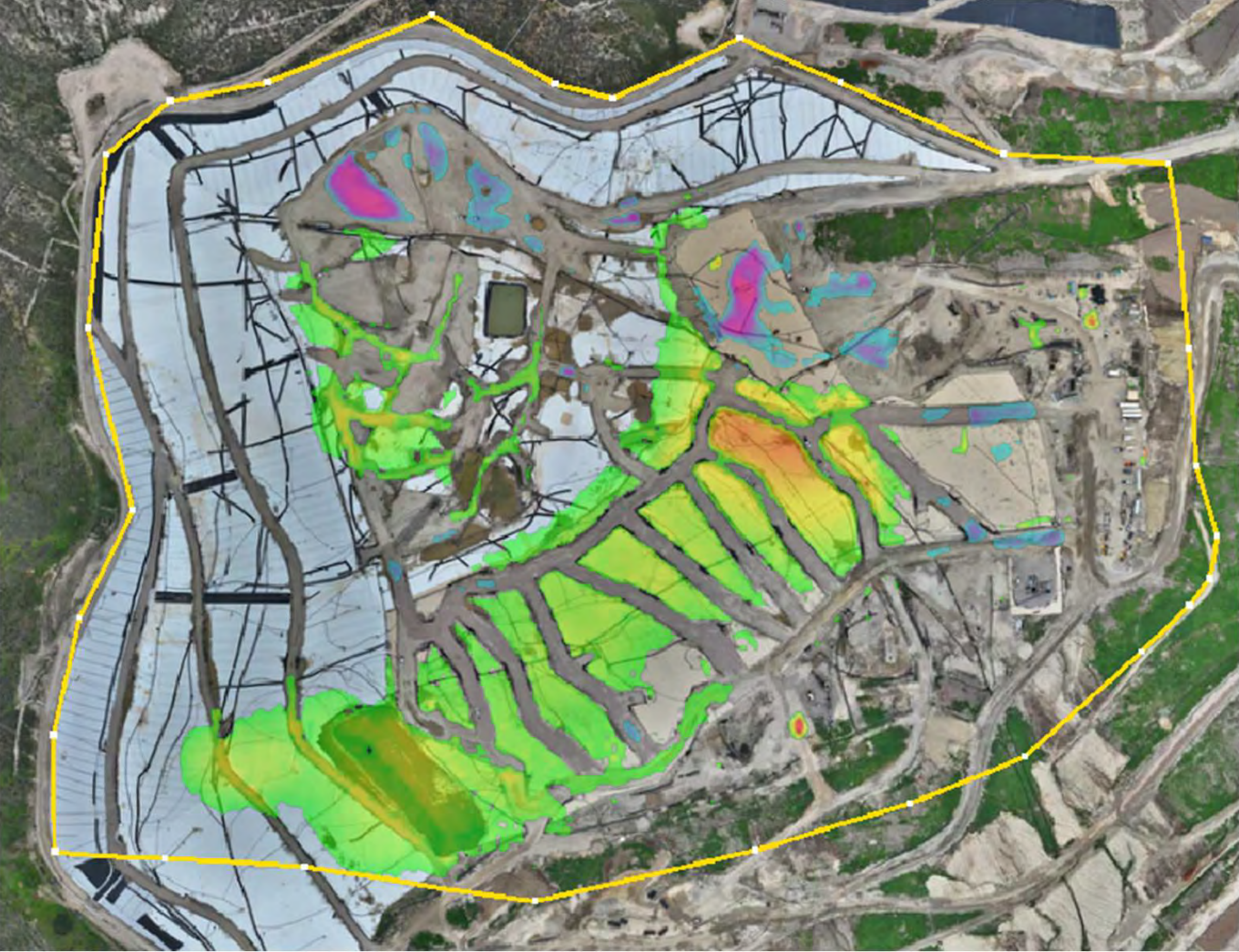
**Chiquita Canyon Landfill
Range Map
Parameter: H2 (mid range)
Analysis Method: MostRecent**

Date Range: 01/01/2026 - 01/31/2026

Map generation date : 02/10/2026



Chiquita Canyon Landfill - Quarterly Isopach



December 30, 2025 Survey Image. October 1, 2025 vs. December 30, 2025